

# Shell model

Summary for the PhD  
lecture on Nuclear Physics





# SHELL MODEL

# Basic ideas



- Shell model explains several anomalies known for nuclei with “magic” number of proton and/or neutrons 2, 8, 20, 28, 50, 126 e.g. high-lying excited states for some isotopes, high separation energies, high abundance in solar system, resonant nature of neutron capture
- Basic principle is the single-particle shell model.
- Instead of detail description by nucleon-nucleon interaction we introduce the potential generated by the nuclear forces. Within this potential are localized orbital occupied by nucleons.
- In contrast to the electrons in atomic shell we don't have central potential here, but rather uniformly distributed potential (well, not exactly, especially at the border – see later)

# Shell occupation

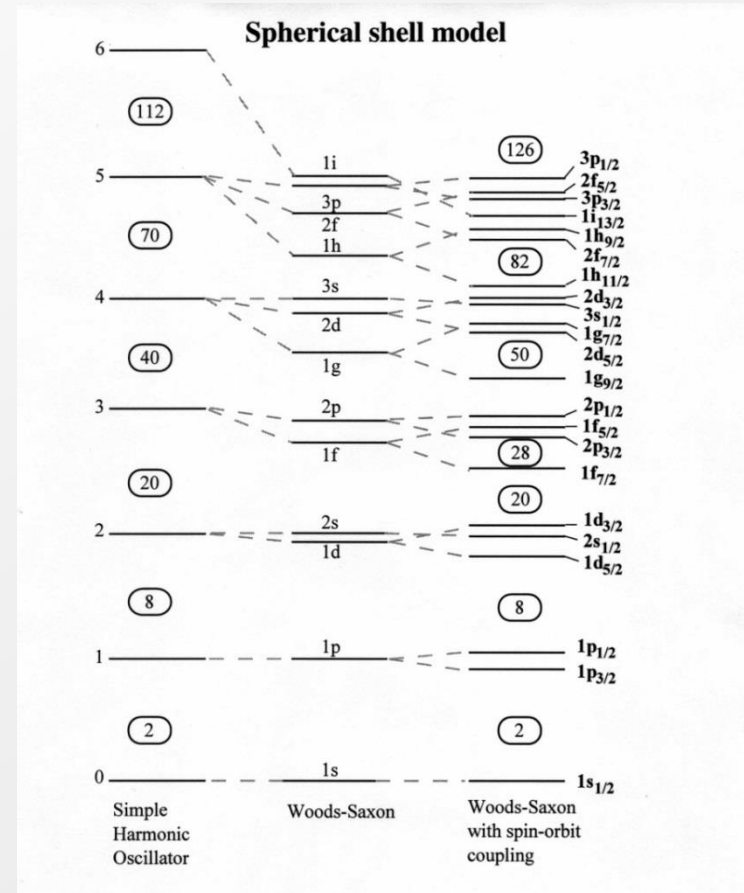


Spectroscopic notation

$\ell$ value	0	1	2	3	4	5	6
Symbol	s	p	d	f	g	h	i

Note:

Number at the first position of level notation (i.e.  $1d_{3/2}$   $3p_{3/2}$   $1h_{9/2}$ ...) don't have the role of principal quantum numbers (as in the case of atomic orbitals). Their purpose is only to note the order of levels with relevant *orbital angular momentum quantum number*



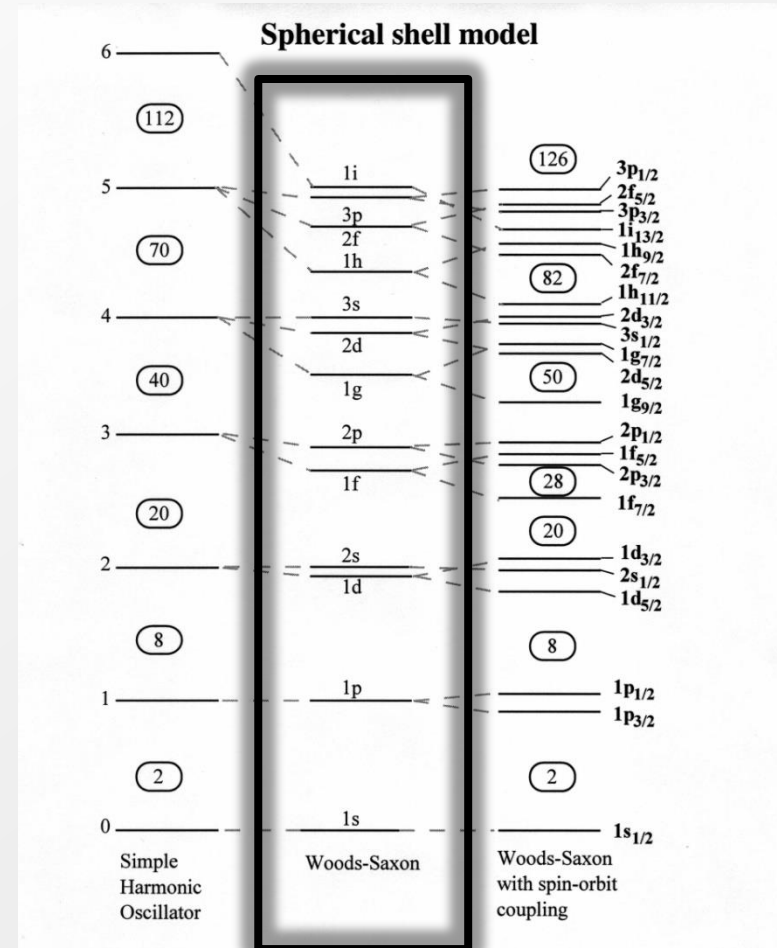
# Number of nucleons at the level?



Number of particles at the level for realistic potential (Woods-Saxon) w/o spin-orbital interaction is  $2(2\ell+1)$

Factor  $(2\ell+1)$  is from degeneracy of angular momentum and could have the value from  $-\ell$  to  $+\ell$

Factor 2 is from degeneracy according to intrinsic spin of nucleon  $m_s$



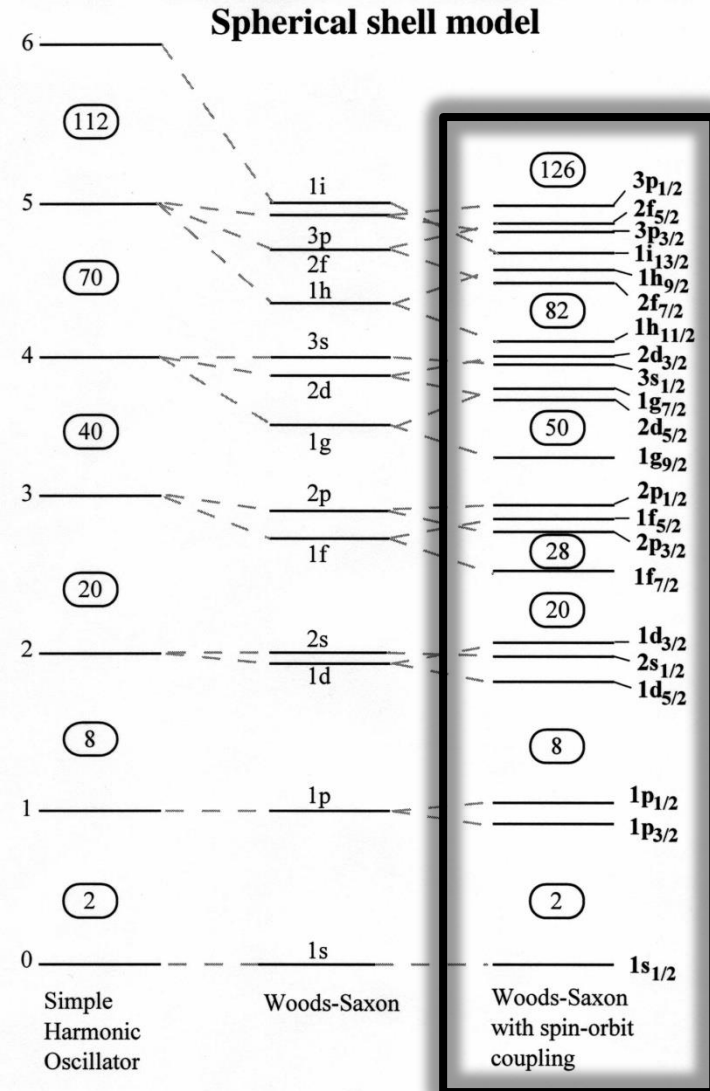
# Spin-orbital interaction



*Correction introduced by Meyer, Haxel, Suess and Jensen in 1940*

Idea is borrowed from the atomic physics, where we know the fine-structure of spectral lines due to the interaction of magnetic moment of electron with magnetic field generated by its movement in the vicinity of atomic nucleus. This effect itself is relatively weak  $1:10^5$ .

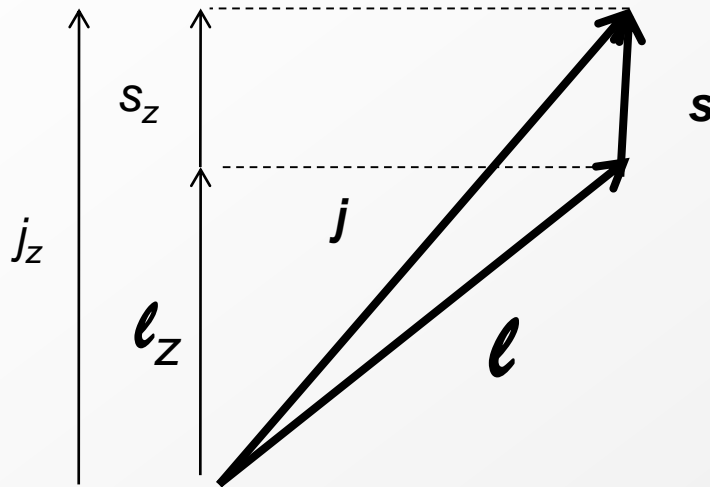
We took this concept, although we couldn't refer to the elmag interaction, which is too weak to explain the splitting of levels.



# Realistic description with introduced $\ell \cdot s$ interaction

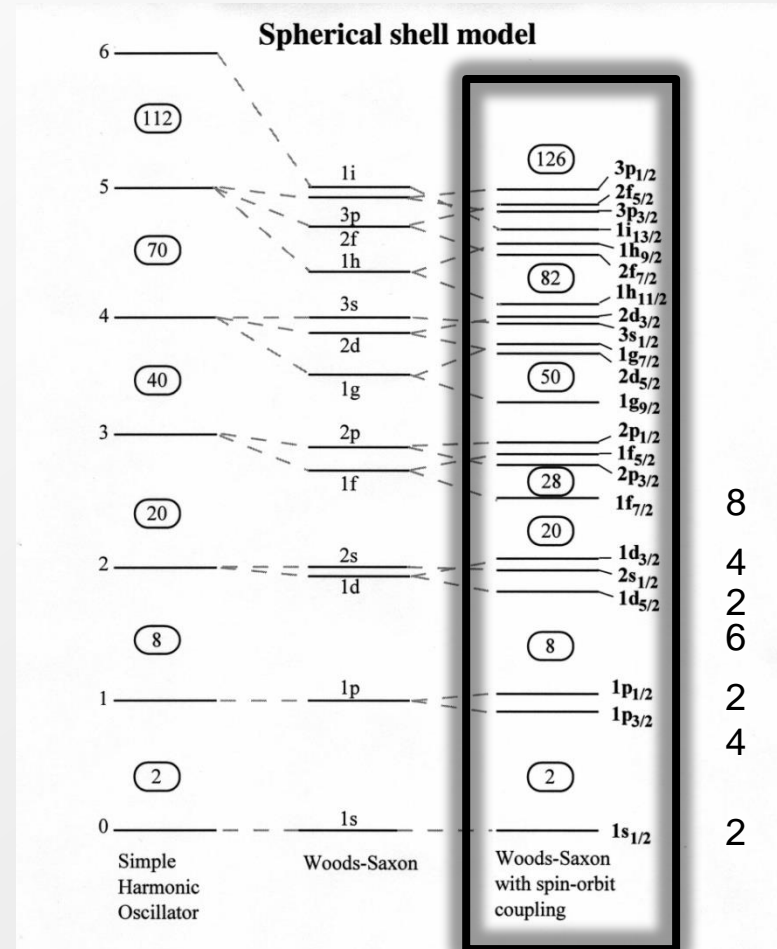


For more realistic potential (Woods-Saxon) in combination with spin-orbital interaction we define total angular momentum  $\mathbf{j} = \mathbf{\ell} + \mathbf{s}$



The parity correspond to the value  $(-1)^l$  indicated by the upper right index.

The parity ... Representation of the symmetry according to change of coordinates. For spherical coordinates term  $(-1)^l$  in angular term





# How many nucleons do we have at each level?

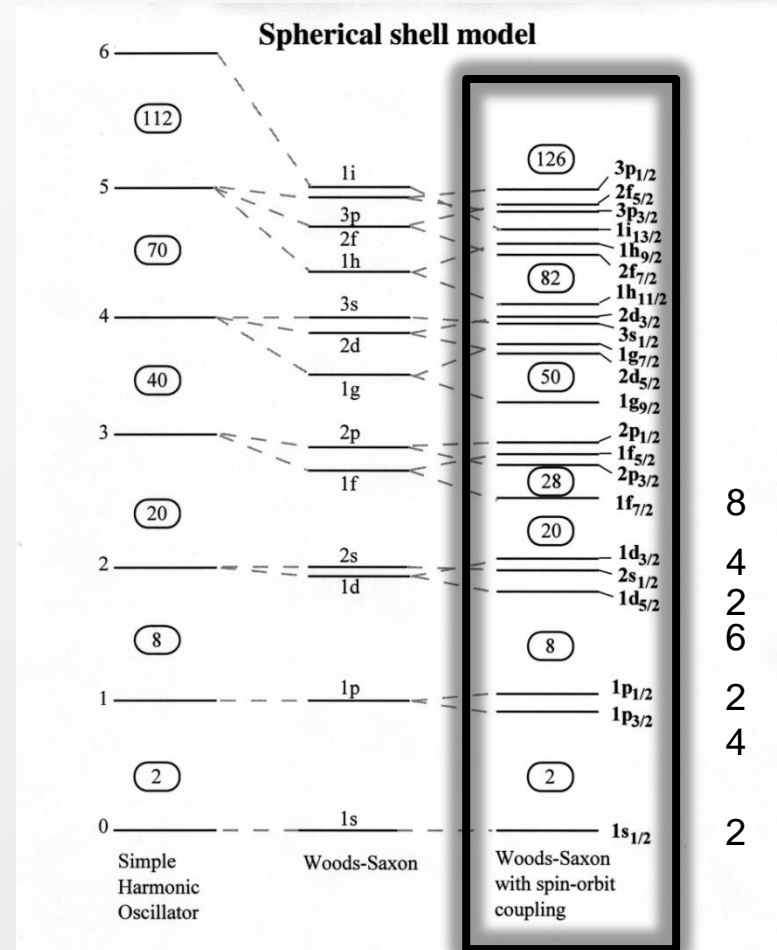
For more realistic potential (Woods-Saxon) in combination with spin-orbital interaction we define total angular momentum  $\mathbf{j} = \mathbf{l} + \mathbf{s}$

Possible  $m_j = m_l + m_s = m_l \pm \frac{1}{2}$

Since  $m_l$  is the integer, the  $m_j$  is always „half-number“ ( $\pm 1/2 \pm 3/2 \pm 5/2 \dots$ )

Resulting total angular momentum  $\mathbf{j}$  could be either  $l + \frac{1}{2}$  or  $l - \frac{1}{2}$  (except of  $l = 0$  for which only  $\frac{1}{2}$  is possible) is indicated in subscript. (note, there are two possibilities since for two vectors we could get all possible combination).

The corresponding number of nucleons is  $(2j+1)\dots$  e.g. for  $1p_{3/2}$  we could have possible values  $3/2, 1/2, -1/2, -3/2$

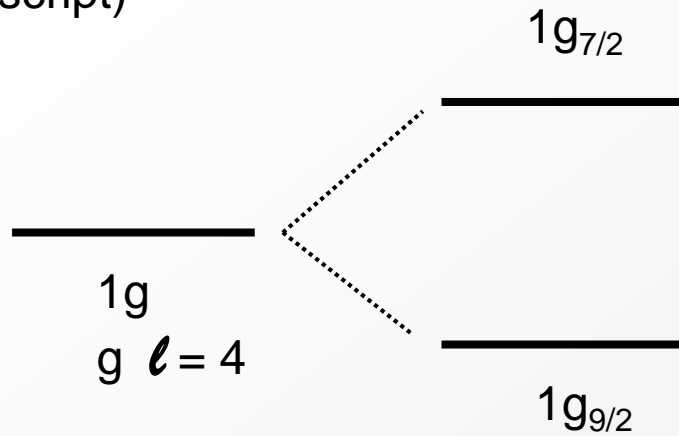




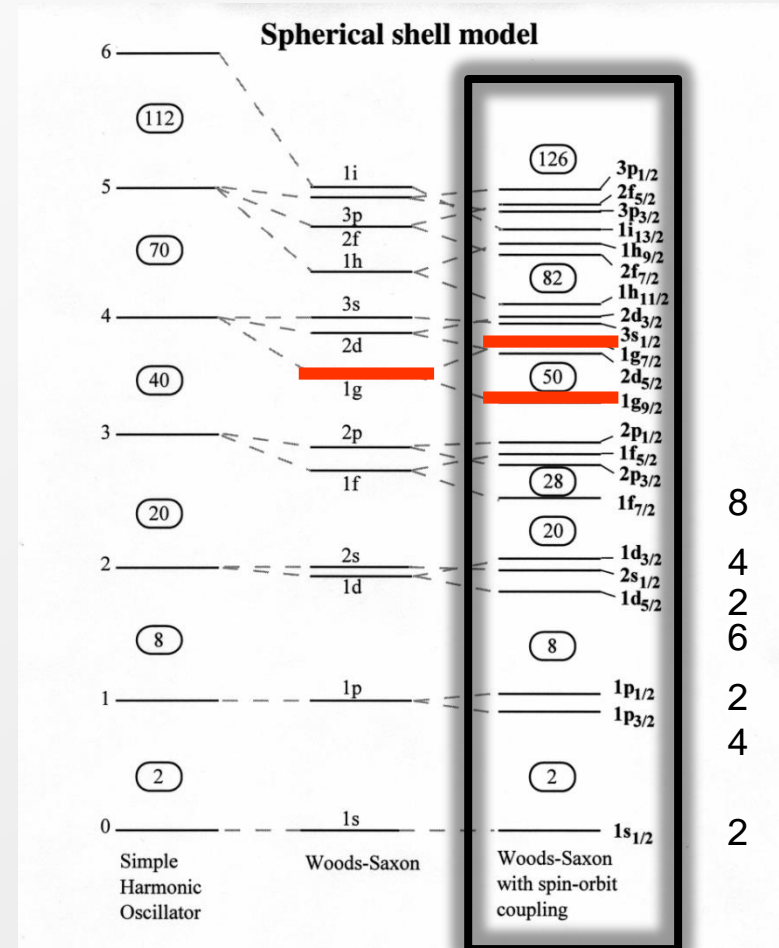
# Level split



After combination of the orbital angular momentum and intrinsic spin there are possible values for  $j$  either  $\ell + \frac{1}{2}$  or  $\ell - \frac{1}{2}$  (see right subscript)



The level, with higher total quantum number is pushed lower in energy considering negative  $V_{so}(r)$ .



# „Energy difference“ of $l \cdot s$ interaction



We introduced total angular momentum

$$\mathbf{j} = \mathbf{l} + \mathbf{s}$$

Possible value for total angular momentum  $j$  are:

$$j = l + 1/2 \text{ a } j = l - 1/2$$

The energy correspond to mean value  $\langle \mathbf{l} \cdot \mathbf{s} \rangle$  obtained by classical trick:

$$\mathbf{j}^2 = (\mathbf{l} + \mathbf{s})^2 = \mathbf{l}^2 + 2\mathbf{l} \cdot \mathbf{s} + \mathbf{s}^2$$

Afterwards:

$$\mathbf{l} \cdot \mathbf{s} = 1/2 (\mathbf{j}^2 - \mathbf{l}^2 - \mathbf{s}^2)$$

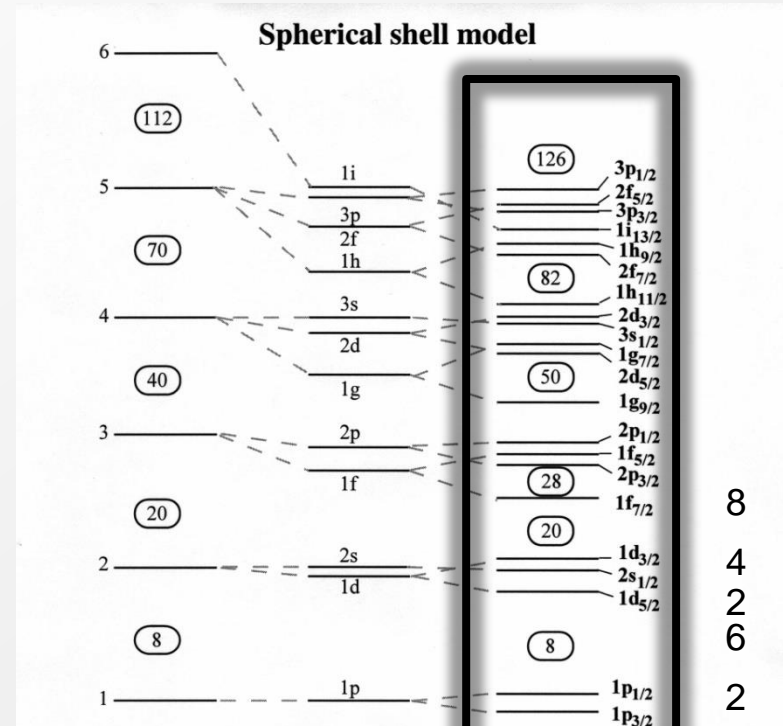
And mean value of  $l \cdot s$  interaction is

$$\langle \mathbf{l} \cdot \mathbf{s} \rangle = 1/2 [j(j+1) - l(l+1) - s(s+1)] \hbar^2$$

The energy difference for spin-orbital pairs with

$j = l + 1/2$  a  $j = l - 1/2$  is afterwards:

$$\langle \mathbf{l} \cdot \mathbf{s} \rangle_{l+1/2} - \langle \mathbf{l} \cdot \mathbf{s} \rangle_{l-1/2} = 1/2 (2l + 1) \hbar^2$$

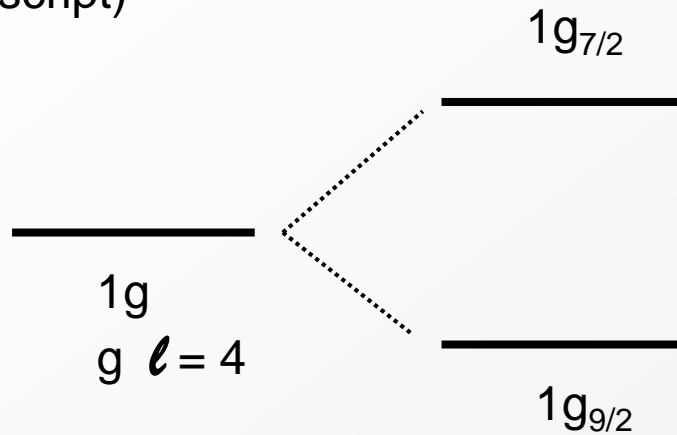


The energy difference increases with  $l$ . Thus e.g. i orbital splitting would be more significant compare to p orbital

# Level split

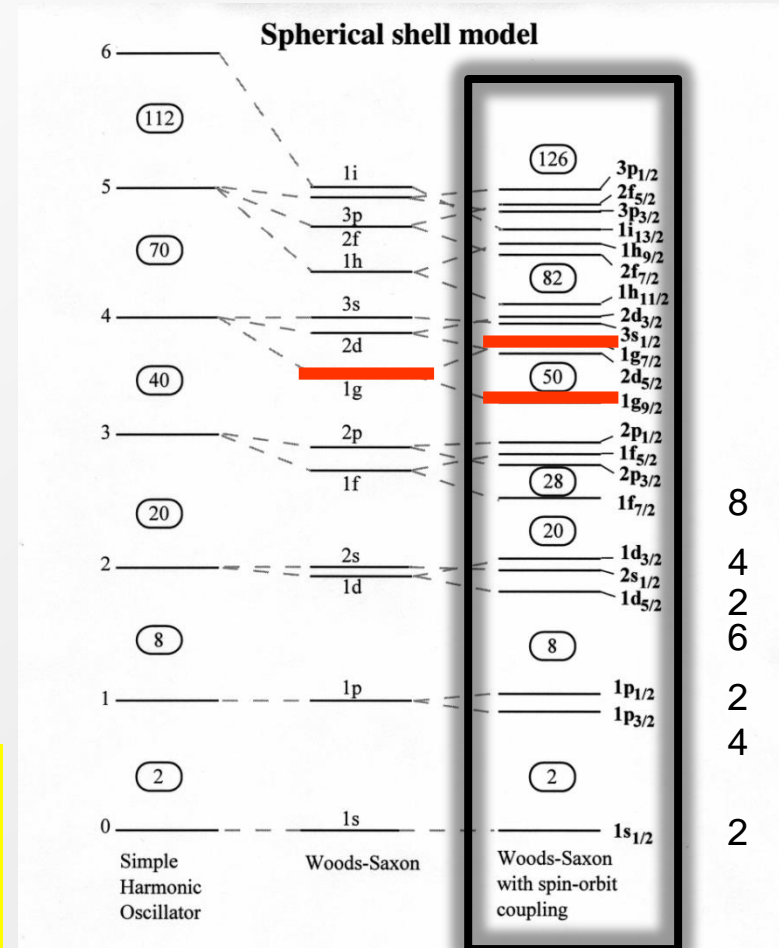


After combination of the orbital angular momentum and intrinsic spin there are possible values for  $j$  either  $\ell + \frac{1}{2}$  or  $\ell - \frac{1}{2}$  (see right subscript)



The level, with higher total quantum number is pushed lower in energy considering negative  $V_{so}(r)$ .

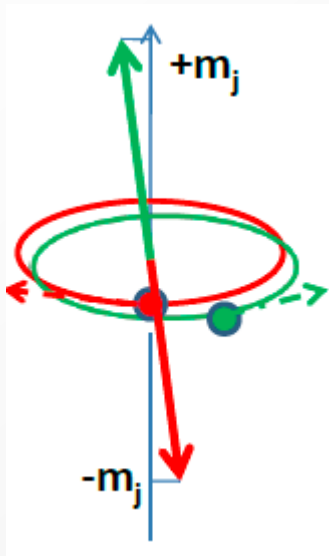
This split and shift is critical for high density of levels in case of heavy nuclei (e.g. having  $1g_{7/2}$  and  $2d_{5/2}$  above closed shell of 50 nucleons) and might lead to possible inconsistencies between theory and experiment


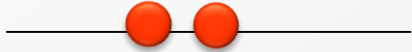
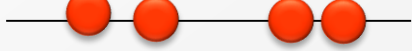



# Nucleon pairing



- Short-distance nucleon-nucleon interaction combines nucleons into the pairs at time-reversed orbitals with opposite values of  $m_j$ . Therefore, all even-even nuclei have the spin and parity of their ground-state  $0^+$ .
- As a consequence we have the pairing term in the semi-empirical term for binding energy (see Bethe Wezsäcker formula)



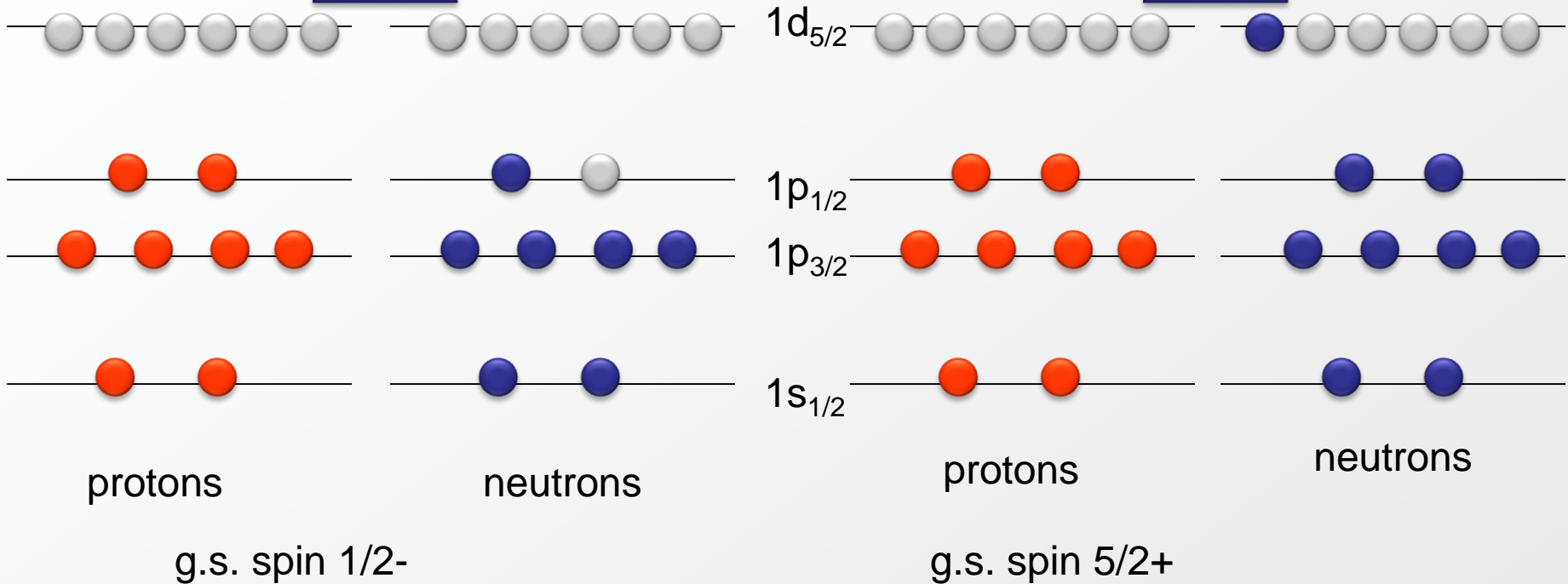
	$1d_{5/2}$	Aage N. Bohr, Ben. R. Motellson a Leo J. Rainwater
	$1p_{1/2}$	Nobelo prize in 1975 - „for the discovery of the connection between collective motion and particle motion in atomic nuclei and the development of the theory of the structure of the atomic nucleus based on this connection"
	$1p_{3/2}$	
	$1s_{1/2}$	



# Example for the level occupation of $^{15}\text{O}$ vs. $^{17}\text{O}$

$^{15}\text{O}$

$^{17}\text{O}$

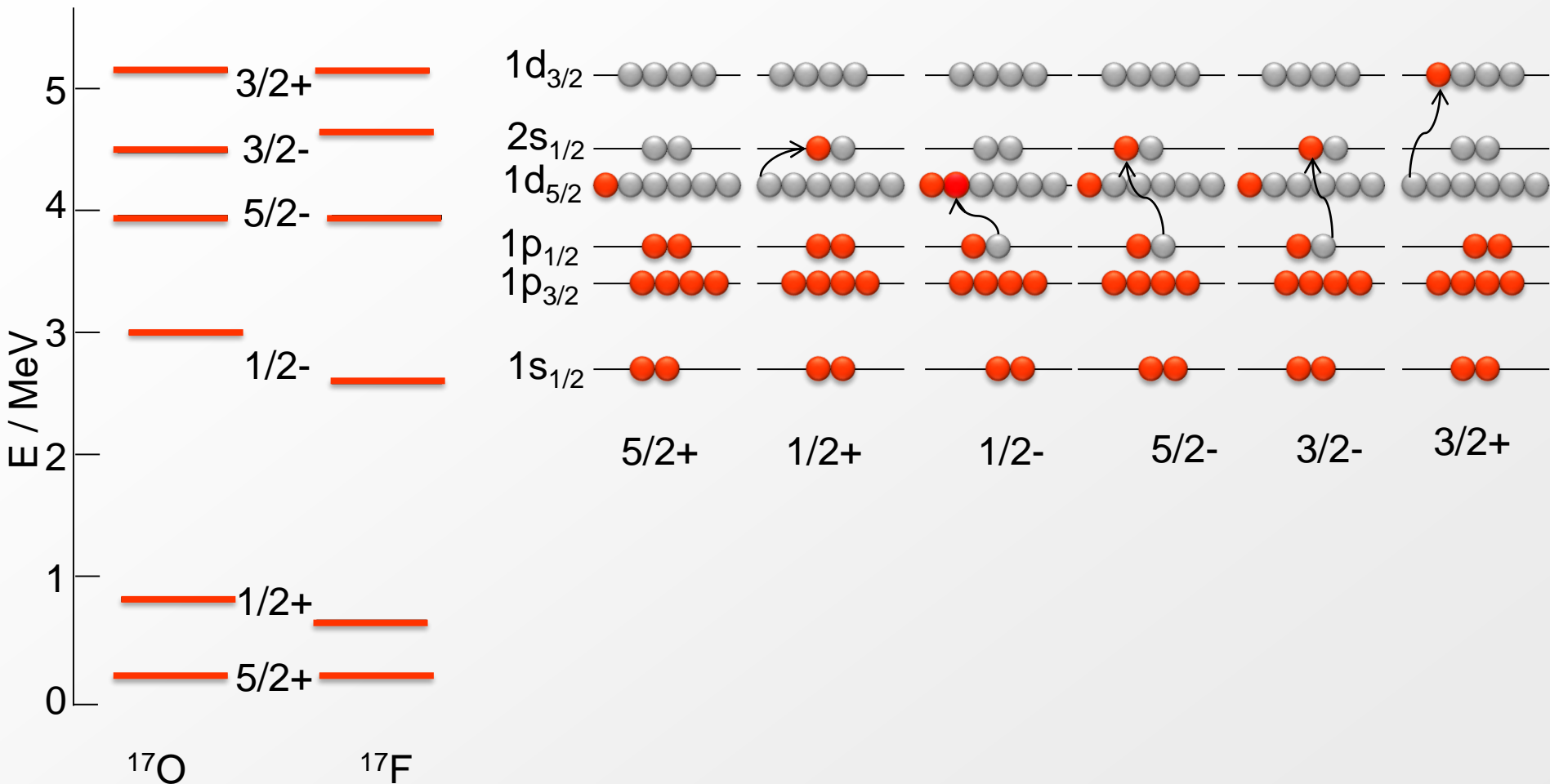


Unpaired nucleon defines the spin and parity for whole nucleus

# Excitations in the framework of basic shell model



Comparison of  $^{17}\text{O}$  (unpaired neutron) and  $^{17}\text{F}$  (unpaired proton)



# Odd-odd nuclei



What to do in the case of unpaired proton and neutron in odd-odd nuclei. There are available so called Brennan-Bernstein rules.

- I. For particles of the same kind (either holes or particles) :
  - a.  $j_1 = \ell_1 \pm 1/2$  and  $j_2 = \ell_2 \mp 1/2$ , then  $I = |j_1 - j_2|$
  - b.  $j_1 = \ell_1 \pm 1/2$  and  $j_2 = \ell_2 \pm 1/2$ , then  $I = |j_1 \pm j_2|$
- II. For particle-hole combination  $I = j_1 + j_2 - 1$

*Example: What is total angular momentum for  $^{32}\text{P}$ ?*

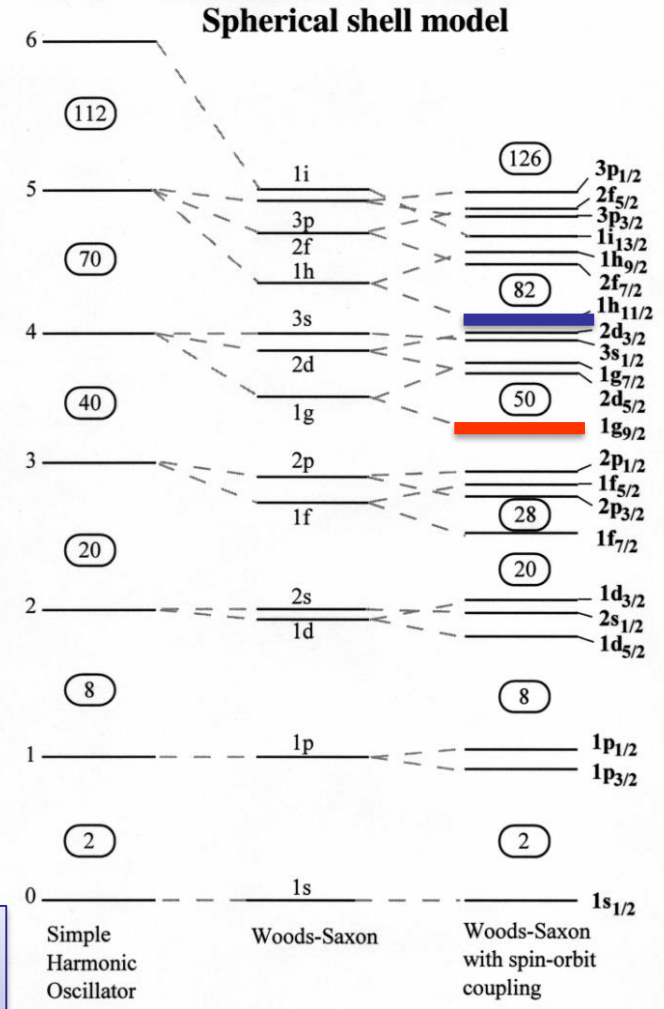
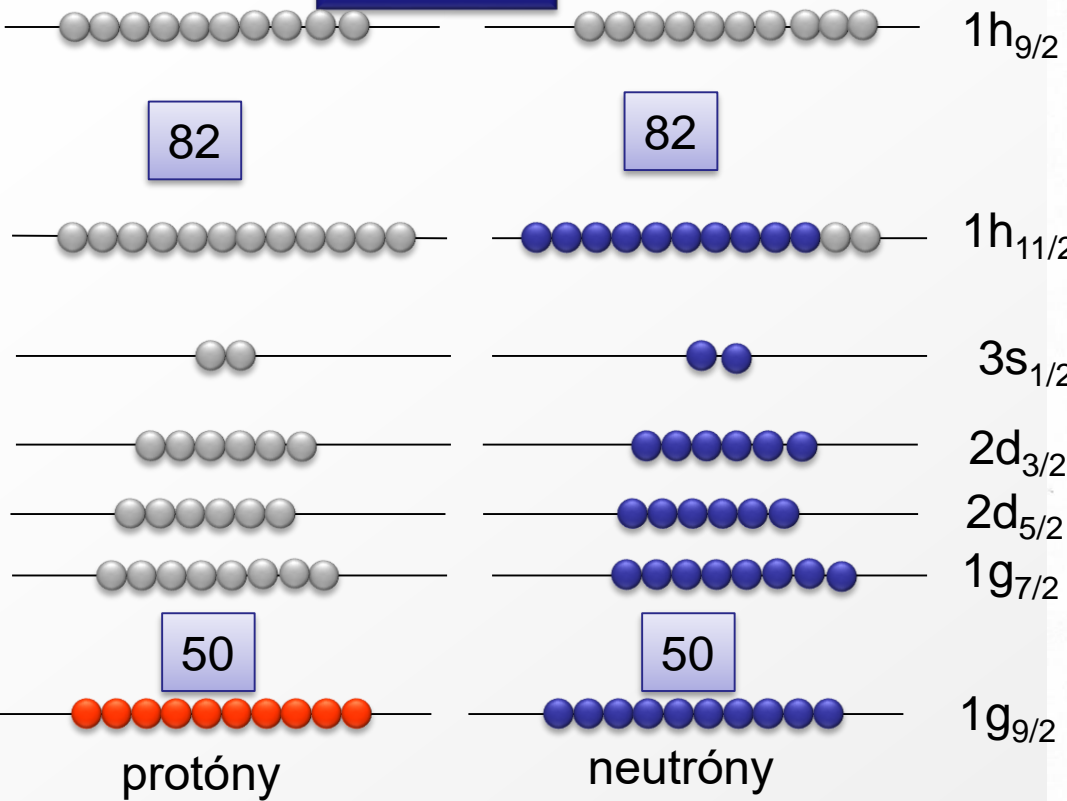
*Solution: 15 protons (last at  $2s_{1/2}$ ) and 17 neutrons (last at  $1d_{3/2}$ ). The total angular momentum is either  $1+$  or  $2+$ .*

*For  $^{32}\text{P}$  we have orbital and intrinsic spin for proton parallel  $\uparrow\uparrow$  and for neutron antiparallel  $\uparrow\downarrow$ . Therefore the total angular momentum is  $I = |j_1 - j_2| = 1$ . Considering parities is the result  $1+$  (exp. value  $1+$ )*

# Even-even nuclei



$^{130}\text{Sn}$



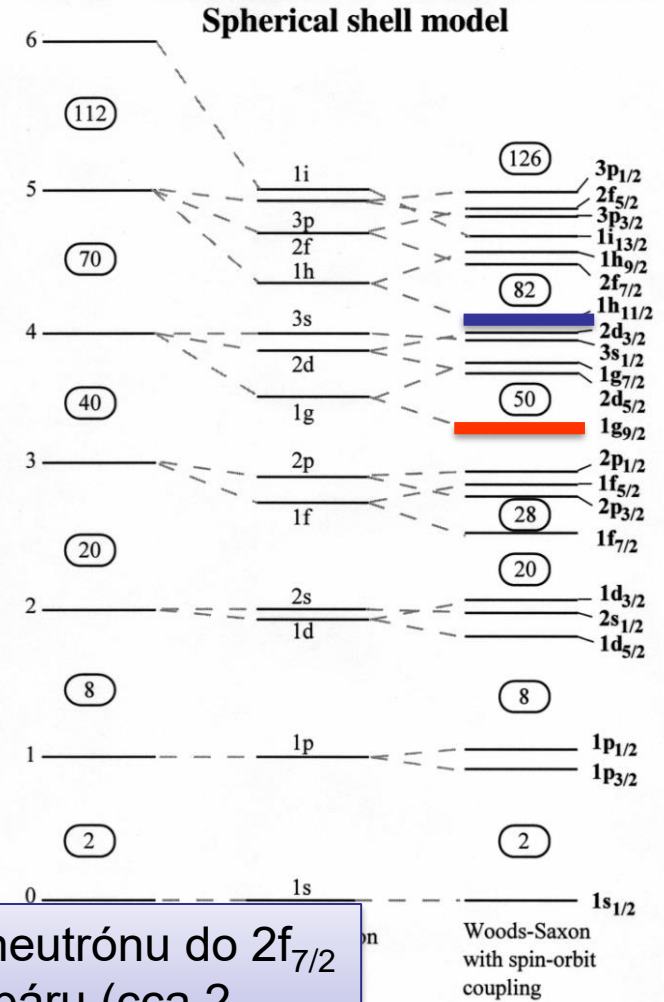
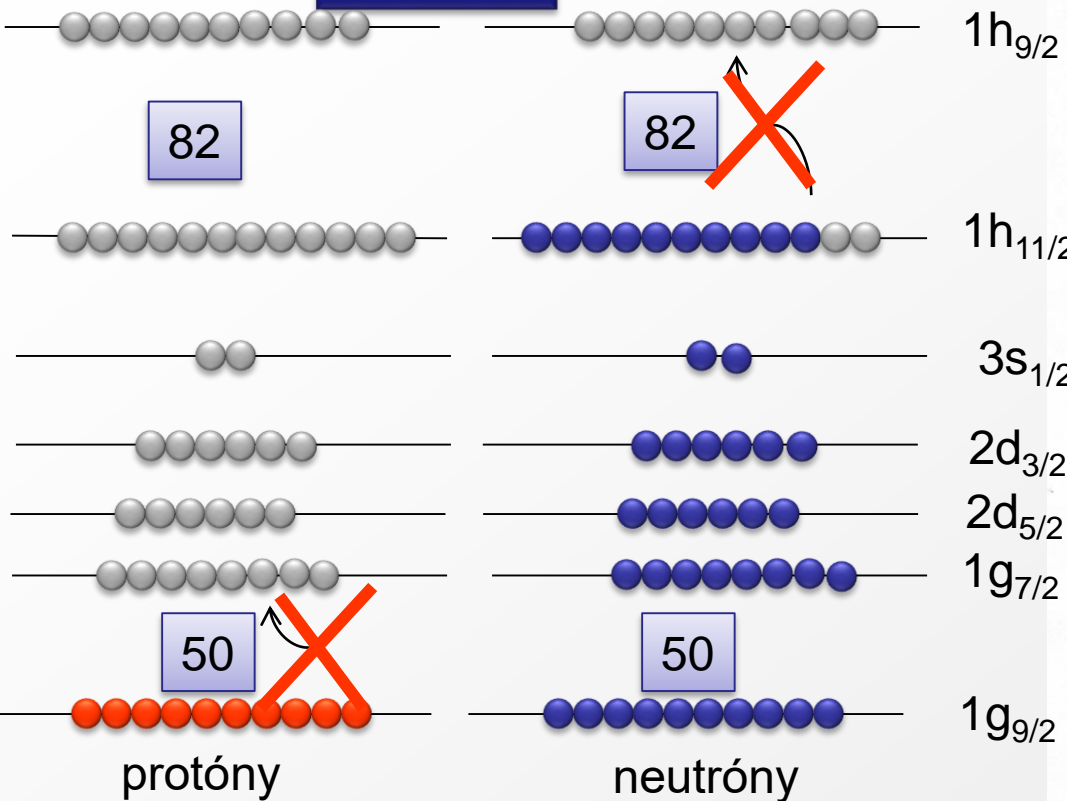
Základný stav  $0^+$   
 Protóny – zaplnený orbital  $1g_{9/2}$   
 Neutróny – dva chýbajú do zaplnenia orbitalu  $1h_{11/2}$





# Even-even nuclei - excitation

$^{130}\text{Sn}$

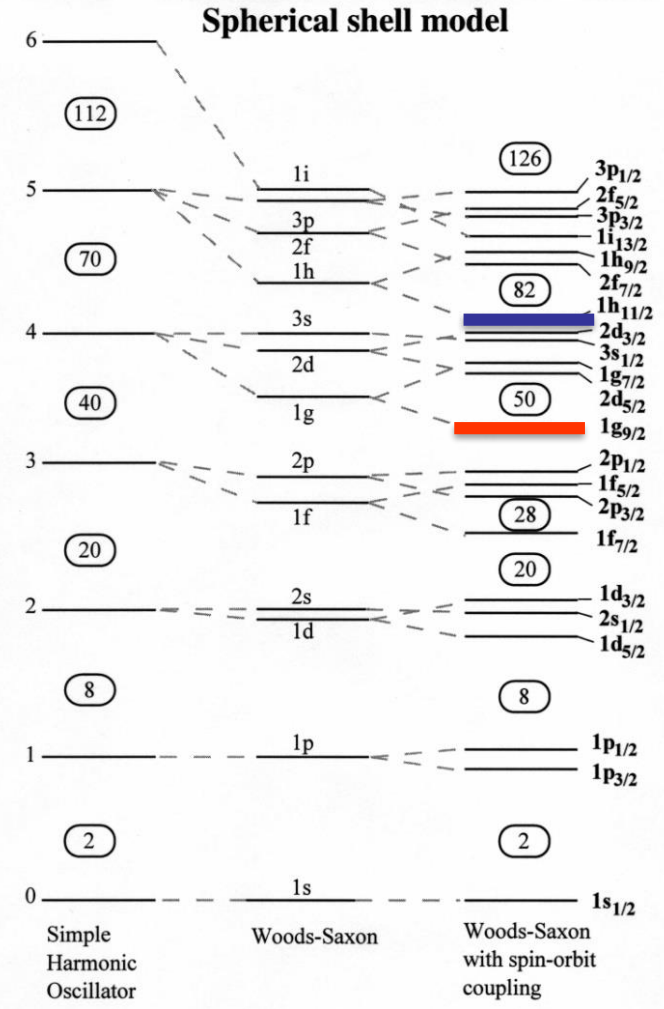
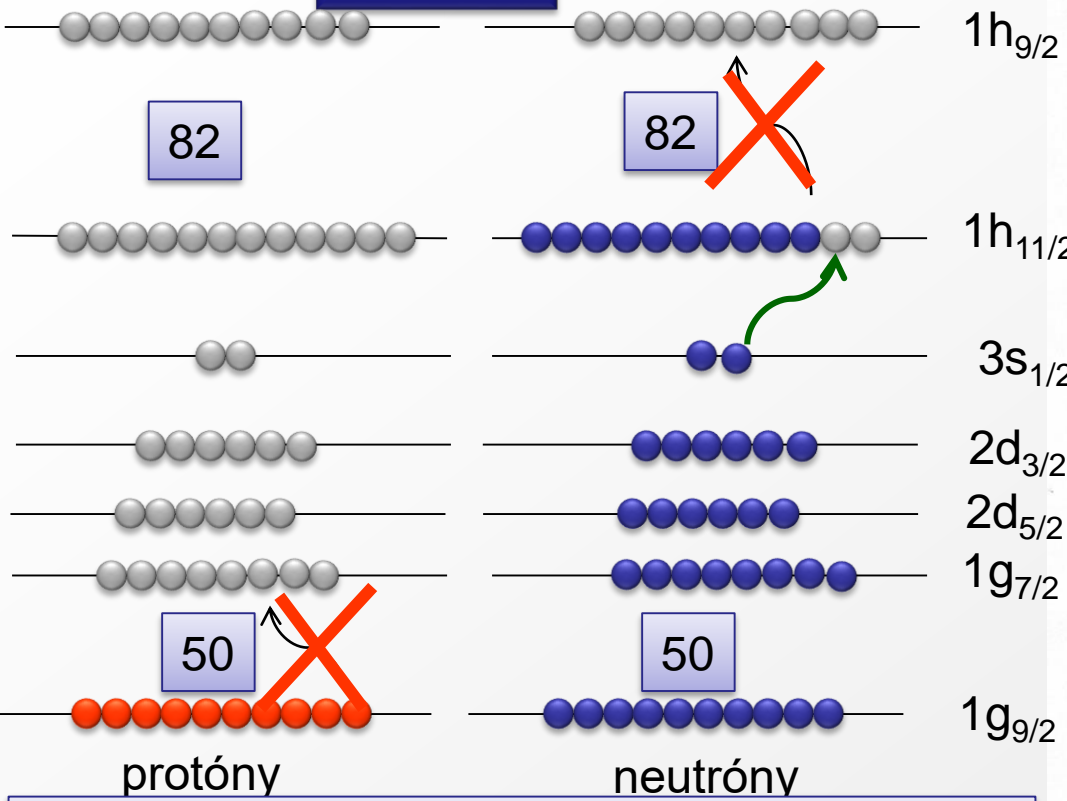


Prenos valenčného nukleónu do ďalšieho orbitálu - neutrónu do  $2f_{7/2}$  alebo protónu do  $1d_{5/2}$  - vyžaduje okrem roztrhnutia páru (cca 2 MeV) veľkú energiu kvôli medzere medzi vrstvami (pár MeV)



# Even-even nuclei - excitation

$^{130}\text{Sn}$

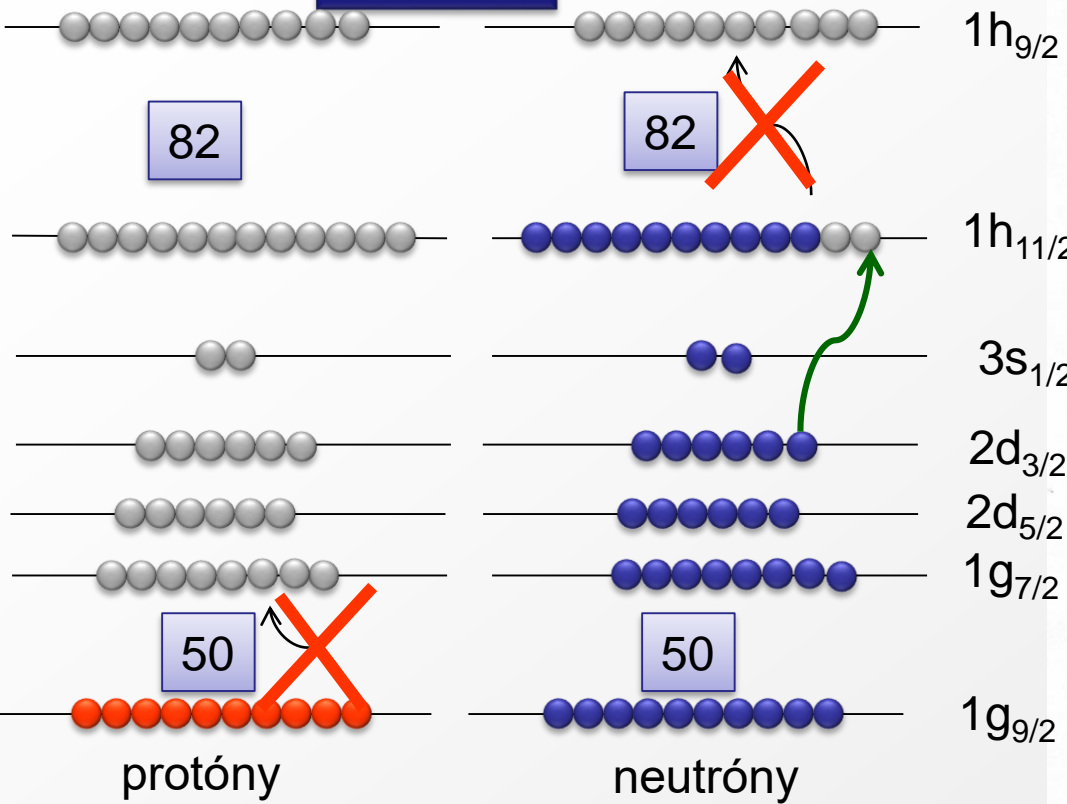


Pozn. 1h<sub>11/2</sub> má zápornú paritu 3s<sub>1/2</sub> kladnú  
 Vzbudenie z 3s<sub>1/2</sub> potom vedie na stav 6<sup>-</sup>  
 (komb. 11/2+1/2) a stav 5<sup>-</sup> (komb. 11/2-1/2)

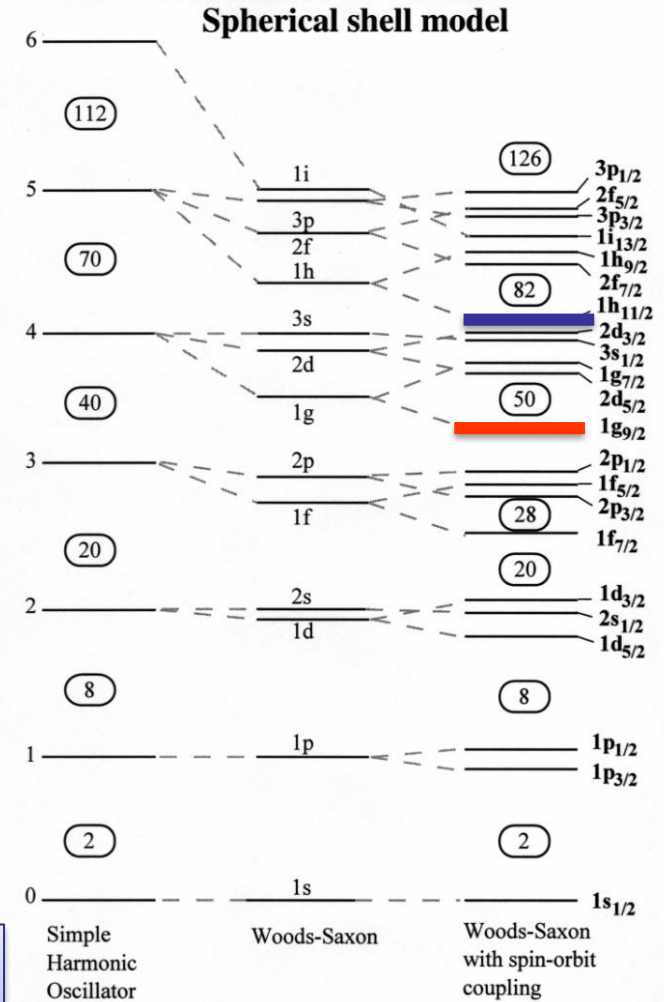


# Even-even nuclei - excitation

$^{130}\text{Sn}$



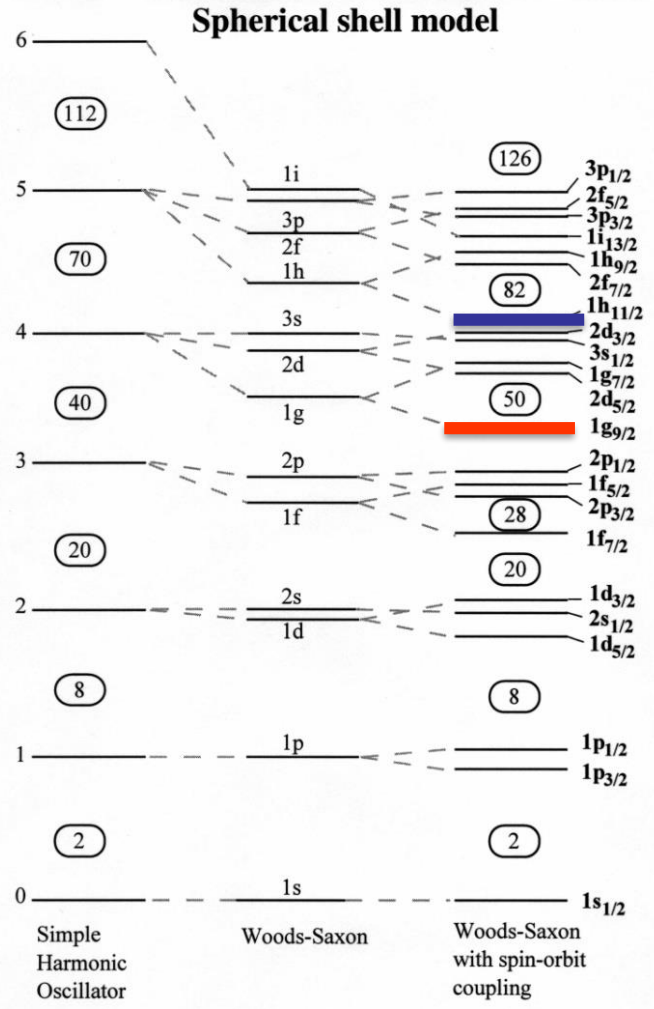
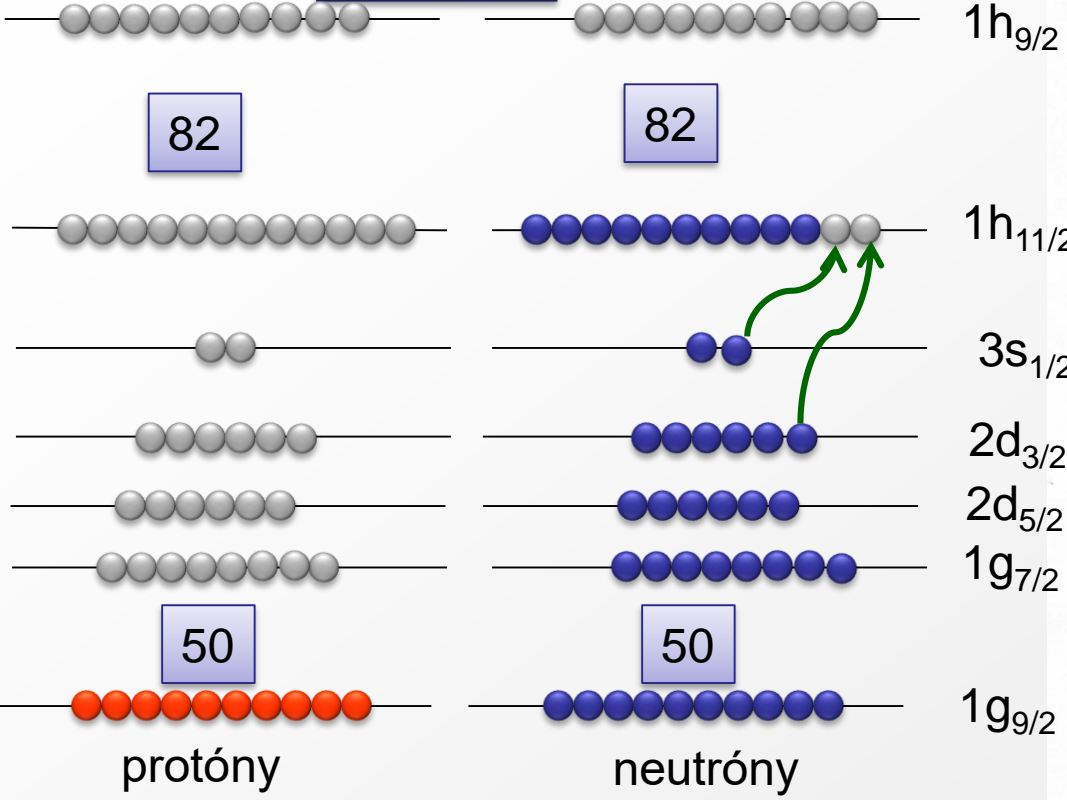
Vzbudenie z  $2d_{3/2}$  potom vedie na stavy od  $4^-$  (komb.  $11/2-3/2$ ) po stav  $7^-$  (komb.  $11/2+3/2$ )





# Even-even nuclei - excitation

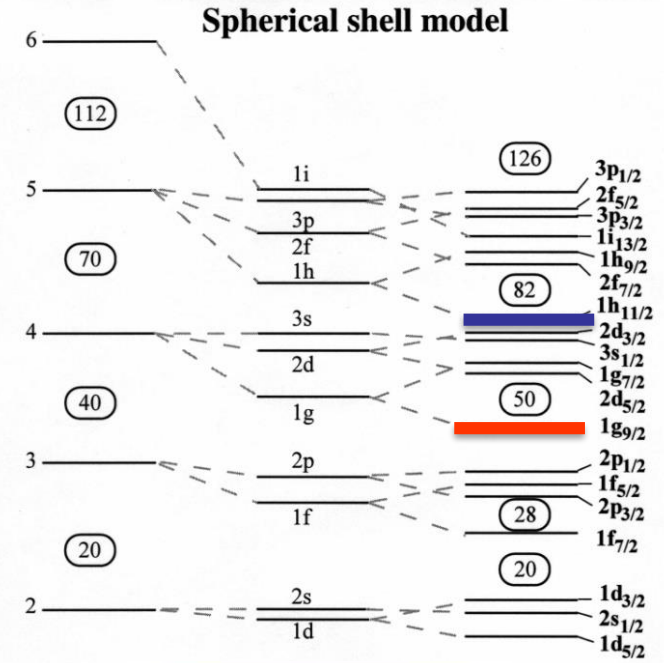
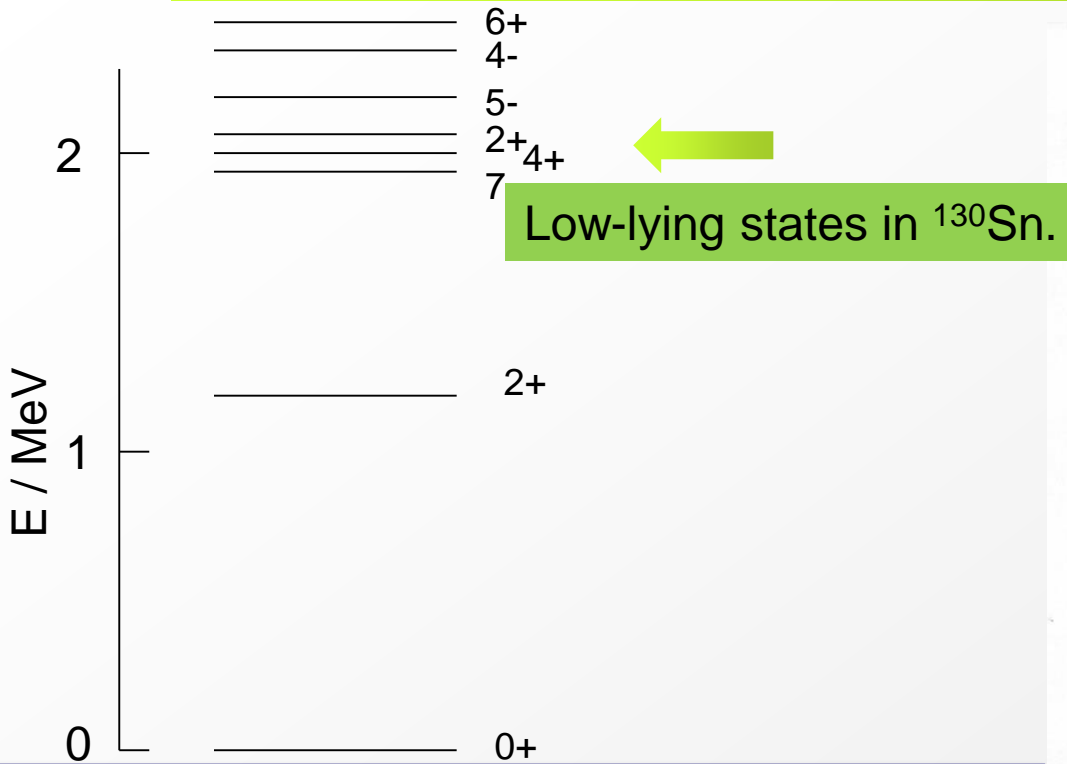
**$^{130}\text{Sn}$**



Možností je viacero .. Ako napr.  $2+$  stav pri prenose neutrónu z  $3s_{1/2}$  a  $2d_{3/2}$



# Even-even nuclei



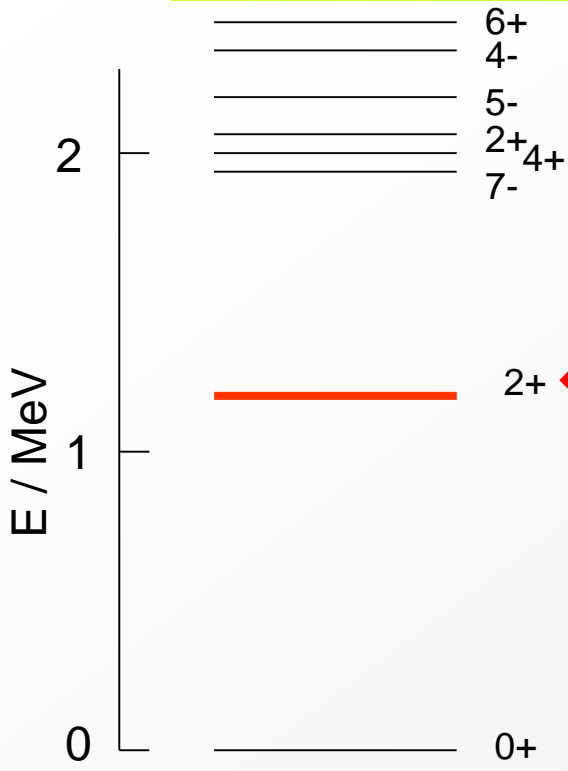
To separate the pair is needed an energy of 1.5-2 MeV. Indeed all deduced levels from previous slides are at 2 MeV and more

Vrstvový model dokáže aspoň kvalitatívne vysvetliť viaceré z excitácií v páro-párnych jadrách. (pozor na mixing stavov)

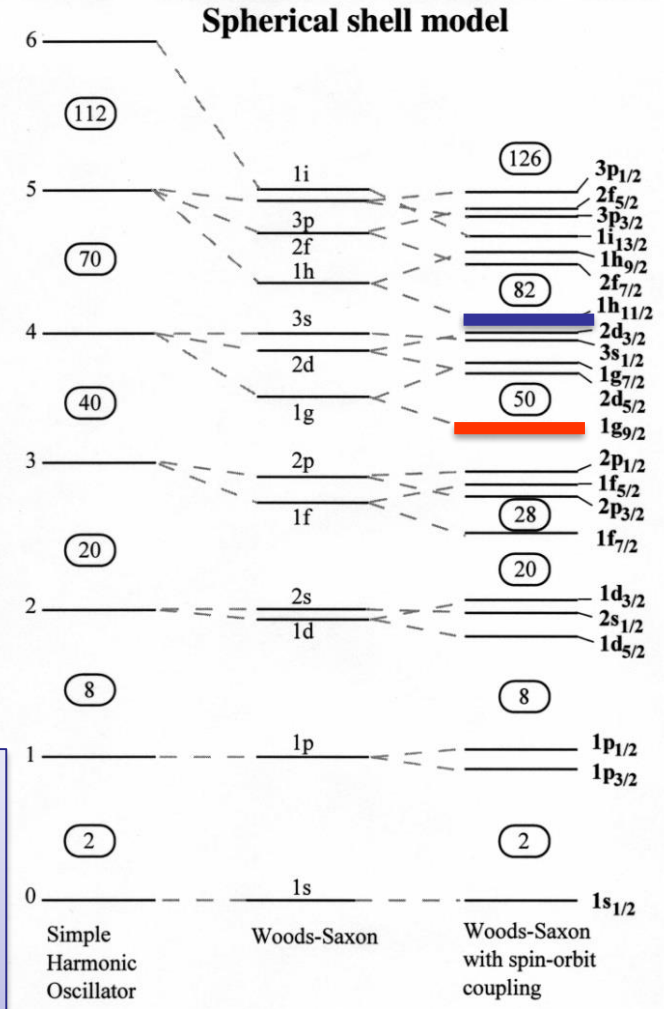




# Párno-párne jadrá



How we could create this level?

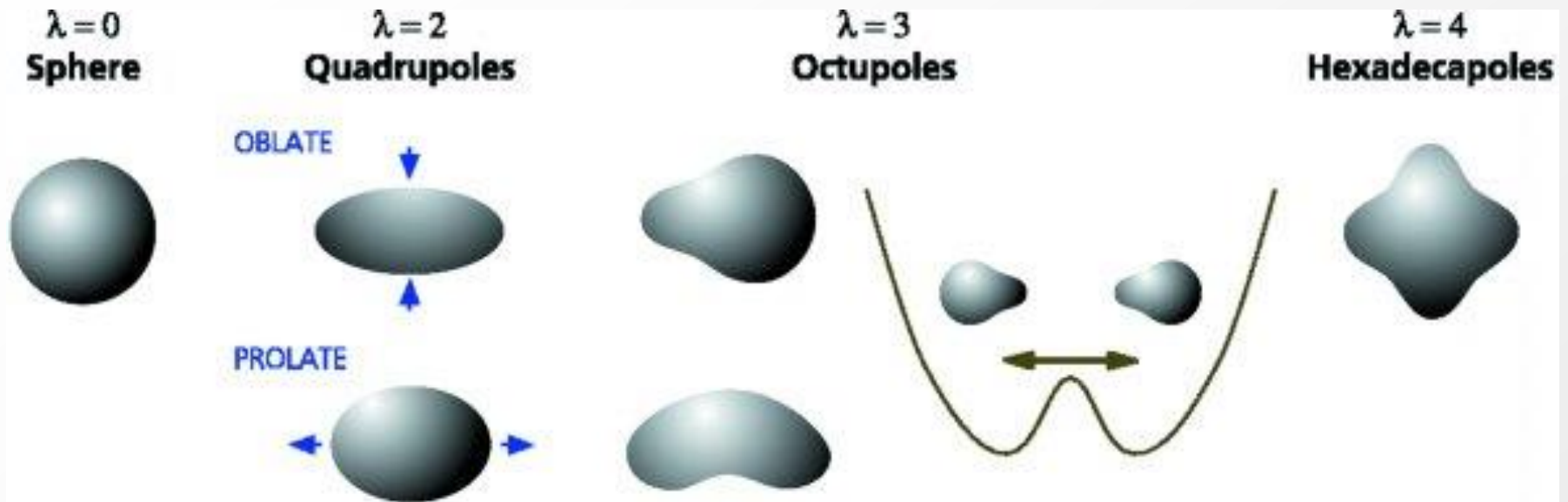


Problem of 2+ state around 1 MeV  
 It's not only the case of  $^{130}\text{Sn}$  – similar level is almost in any even-even nucleus.  
 It's origin is in collective excitations.

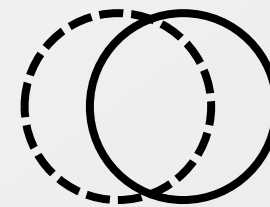


# NUCLEAR DEFORMATION AND COLLECTIVE EXCITATIONS

# Deformácie jadra



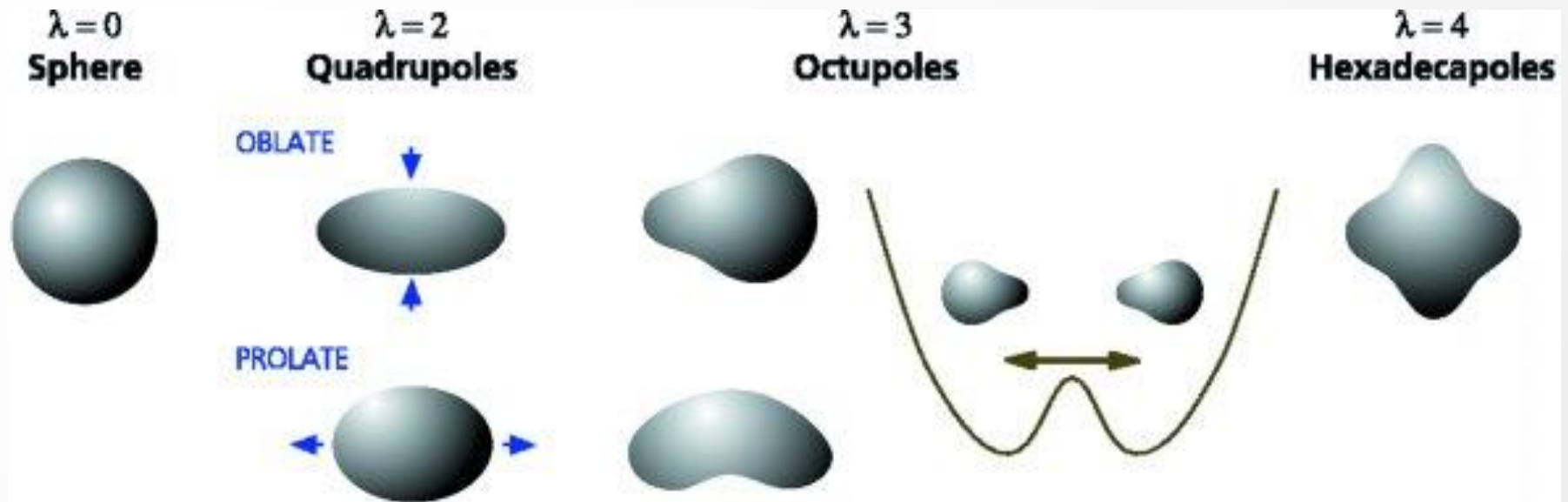
Pozn.: dipólová vibrácia súvisí iba so zmenou polohy jadra a preto nie je dôsledkom vplyvu vnútorných jadrových síl.



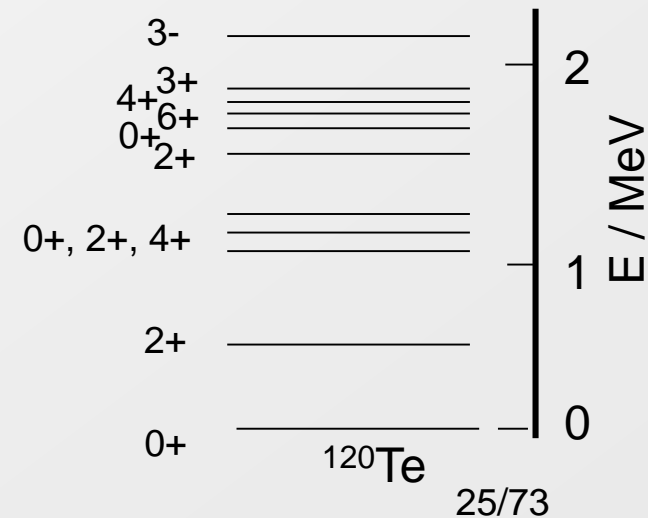
$\lambda = 1$  (Dipole)



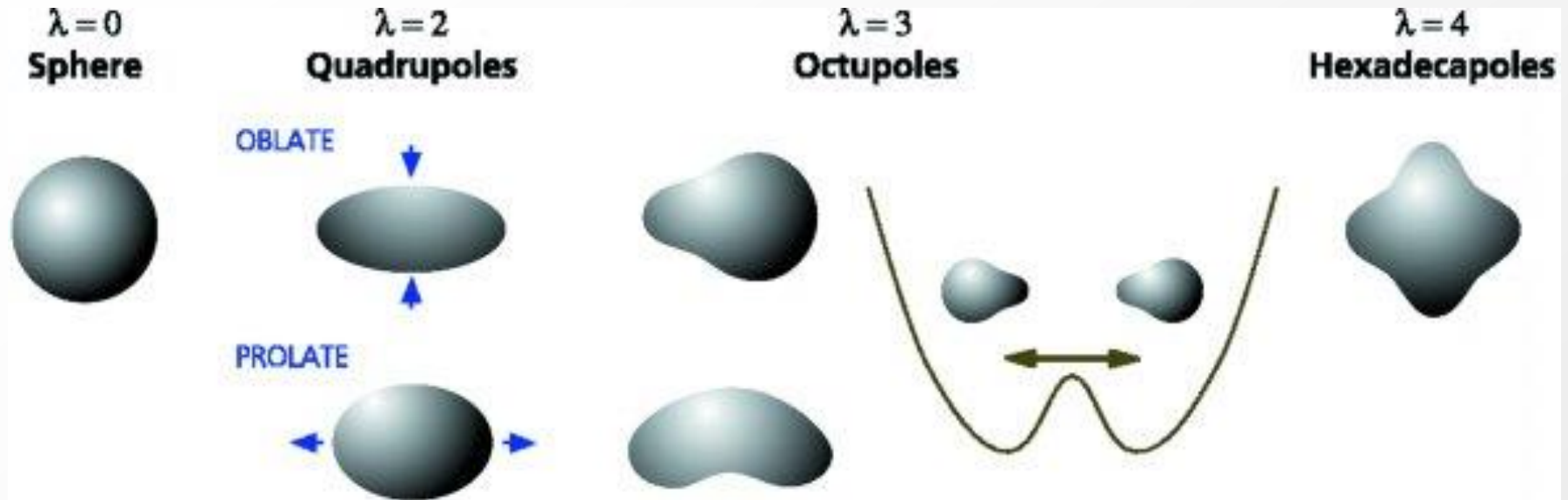
# Kvadrupólová deformácie jadra



Pozn. Pre  $\lambda = 2$  (kvadrupólová deformácia) dostávame trojicu  $0+, 2+$  a  $4+$  (tzv. „two-phonon triplet“) v cca dvojnásobnej energii prvý  $2+$  stav a päť stavov  $0+, 2+, 3+, 4+, 6+$  v cca trojnásobnej energii (tzv. „three-phonon quintuplet“)



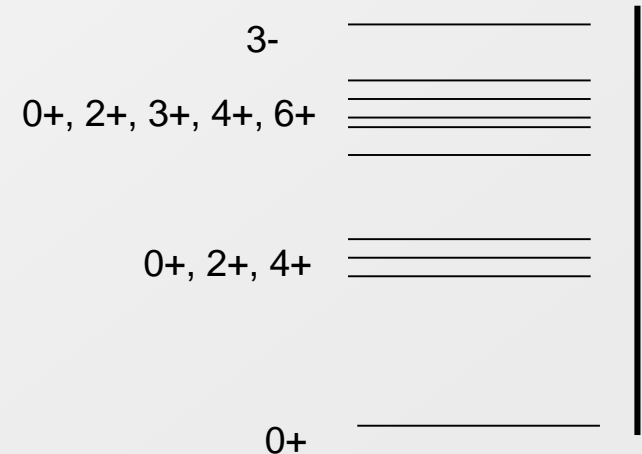
# Oktupólová deformácie jadra



$\lambda = 3$  (oktupólová deformácia) nesie uhlový moment hybnosti  $\ell = 3$  a teda má negatívnu paritu.

Ako prvý vzбудený stav je hladina 3- vo vibračných jadrách spravidla nad dvoj-fonónovým tripletom.

Pri vyšších energiách (niekoľko MeV) prichádza spravidla k deleniu párov a stavy sa zhustujú kvoli veľkému množstvu možných kombinácií



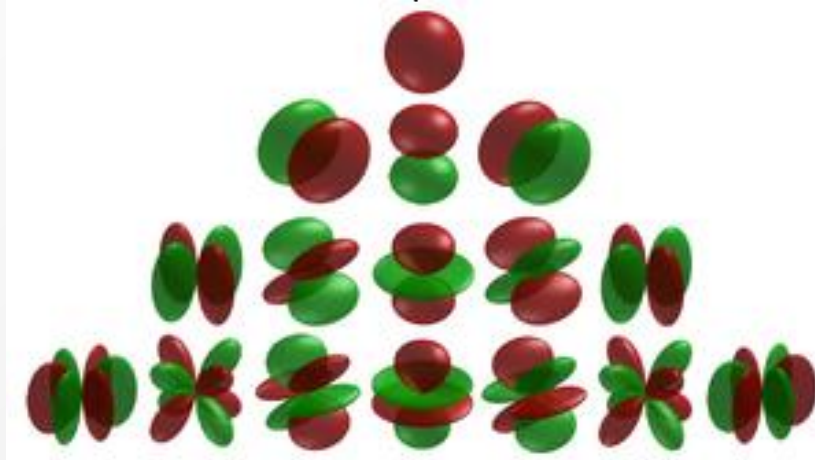
# Tvary jadier



Okamžitý tvar jadra sa dá vyjadriť funkciou

$$R(t) = R_{av} + \sum_{\lambda \geq 0} \sum_{\mu = -\lambda}^{+\lambda} \alpha_{\lambda\mu}(t) Y_{\lambda\mu}(\theta, \phi)$$

Kde  $R_{av}$  je priemerný polomer jadra,  $\alpha_{\lambda\mu}(t)$  je amplitúda sférickej harmonickej funkcie  $Y_{\lambda\mu}(\theta, \phi)$  (riešenia Laplaceovej rovnice).



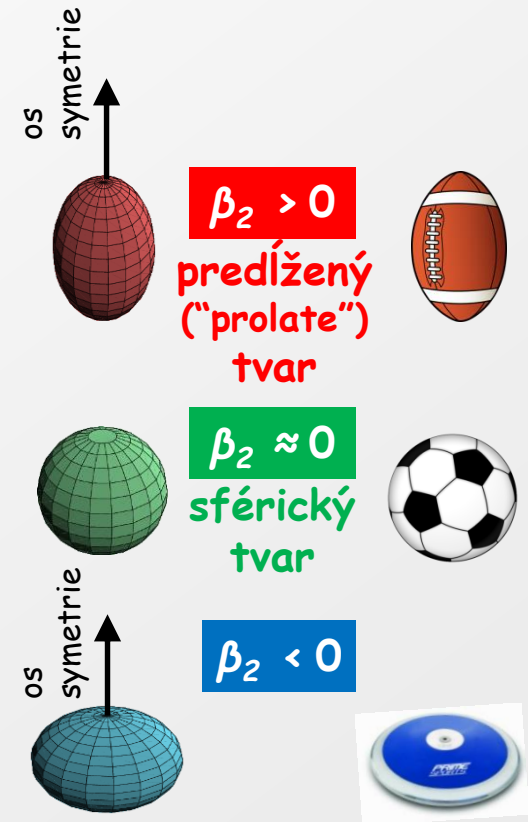
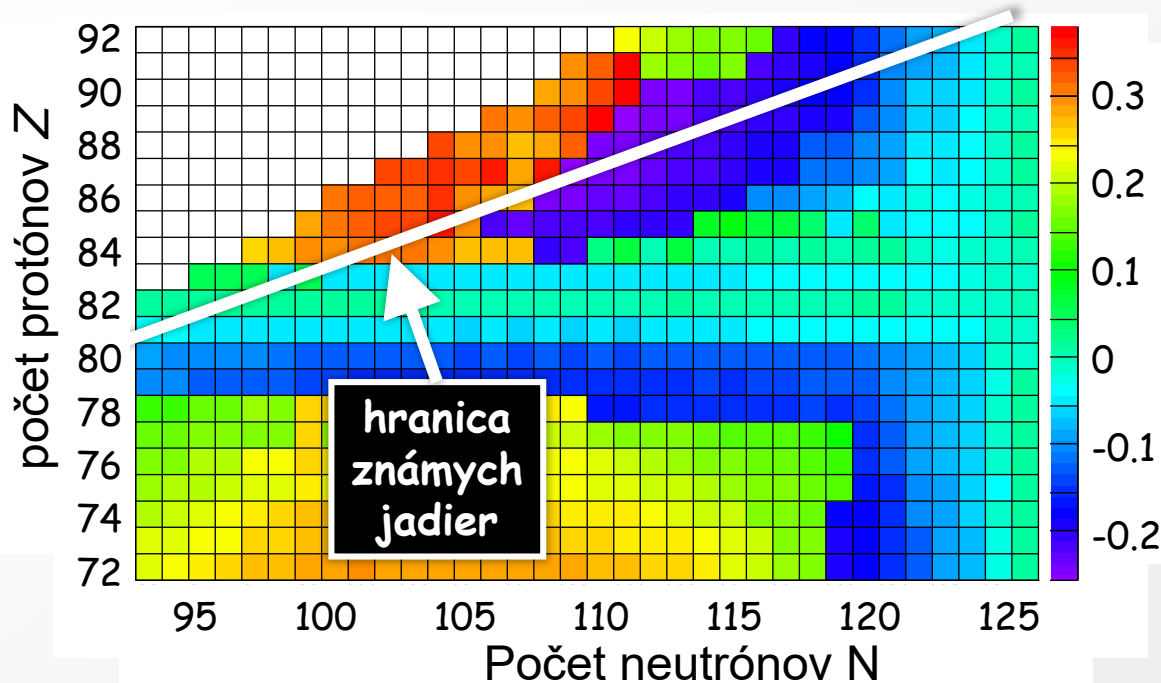
Grafická reprezentácia prvých sférických harmonických funkcií (červená zodpovedá kladným hodnotám a zelená záporným)

# Deformácie jadier



## Kvadrupólová deformácia základného stavu jadra $\beta_2$

Výpočty sú založené na FRDM a folded-Yukawa single-particle microscopic modeli [P. Möller *et al.*, *At. Data Nucl. Data Tables* **59**, 185 (1995)].



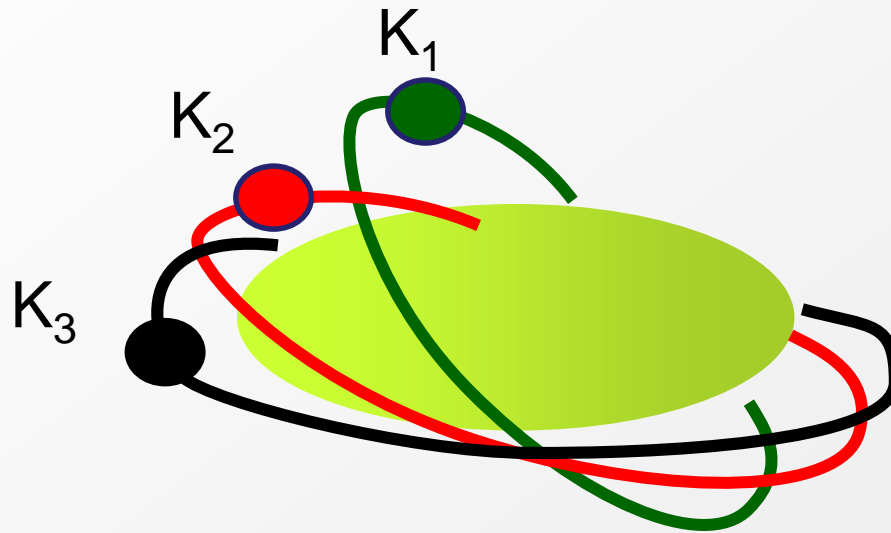


# DEFFORMED SHELL (NILSSON) MODEL

# Deformed shell– Nilsson - model



Nilsson model describes the single-particle situation in the deformed potential. The particle could have different angle of its orbital with the symmetry axis.

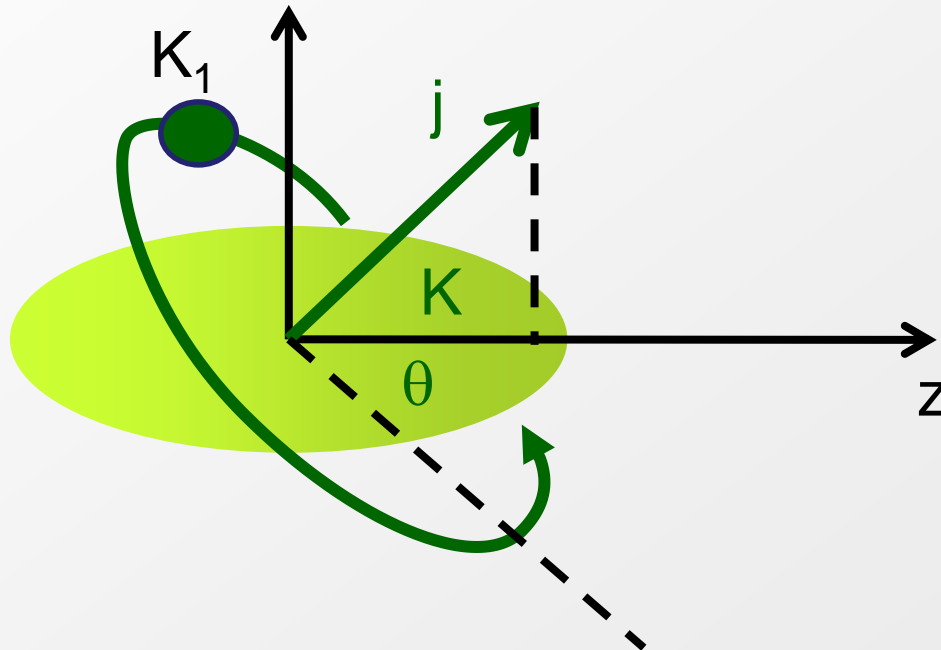


# Deformovaný – Nilssonov model



The nucleon move within an orbital in the plane with the defined angle to the symmetry axis  $\theta$ .

We could make a simple guess and write  $\sin \theta = \frac{K}{j}$ . The possible  $K$  numbers (projections) could have values  $1/2, 3/2, 5/2 \dots$



# Závislosť od uhla roviny orbitalu

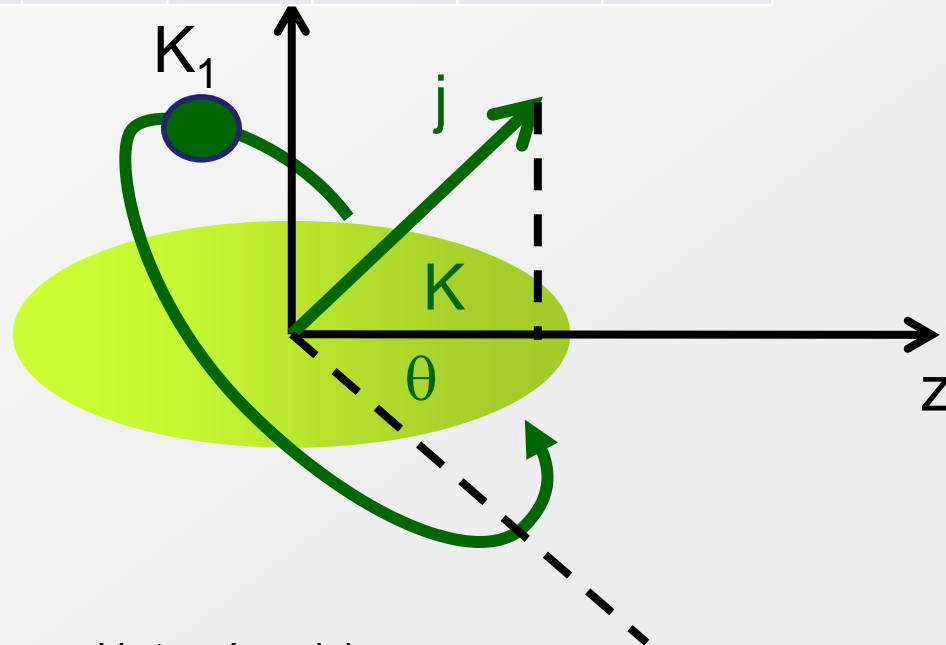


Zaujímavé je, že uhol naklonenia  $\theta$  by sa mal meniť pomalšie pre menšie hodnoty priemetu  $K$  a rýchlejšie pre väčšie.

Konkrétne možno napísať  $\theta = \sin^{-1} \frac{K}{i}$ . Príklad pre  $j=13/2$ .

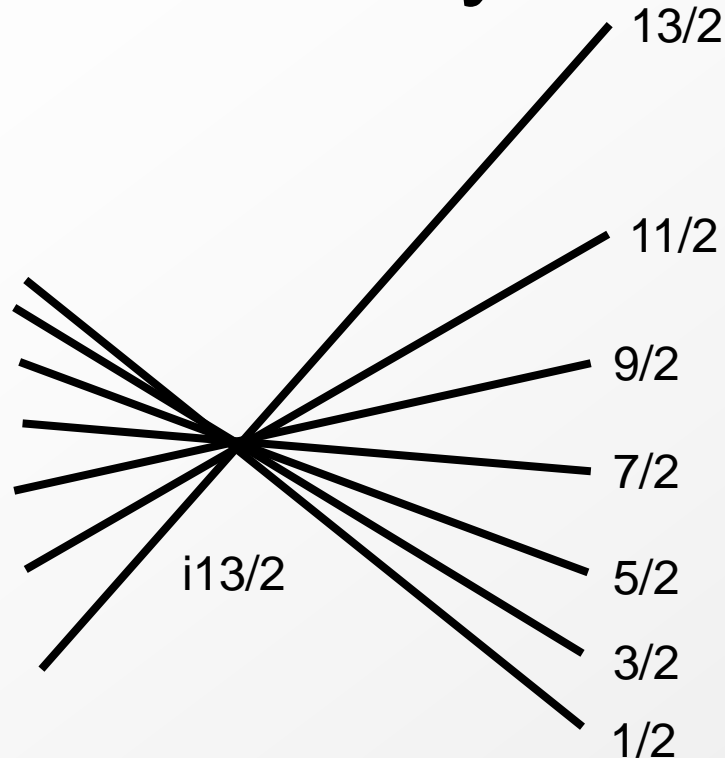
$K$	1/2	3/2	5/2	7/2	9/2	11/2	13/2
$\theta(\text{deg})$	4.4	13.3	22.6	32.6	43.8	57.8	90
$\Delta\theta(\text{deg})$	8.9	9.3	10	11.2	14.0	32.2	

Zmena energie pre malé hodnoty  $K$ , resp.  $\Omega$ , je menšia ako pre veľké hodnoty.





# Zmena energie pre malé hodnoty deformácie



Takto si môžeme jednoducho odhadnúť správanie sa hladín pre malé deformácie.

Ďalšia zmena smeru nastáva až keď sa blíži hladina k inej s rovnakým  $K$  a paritou.

# Prípád deformovaného jadra



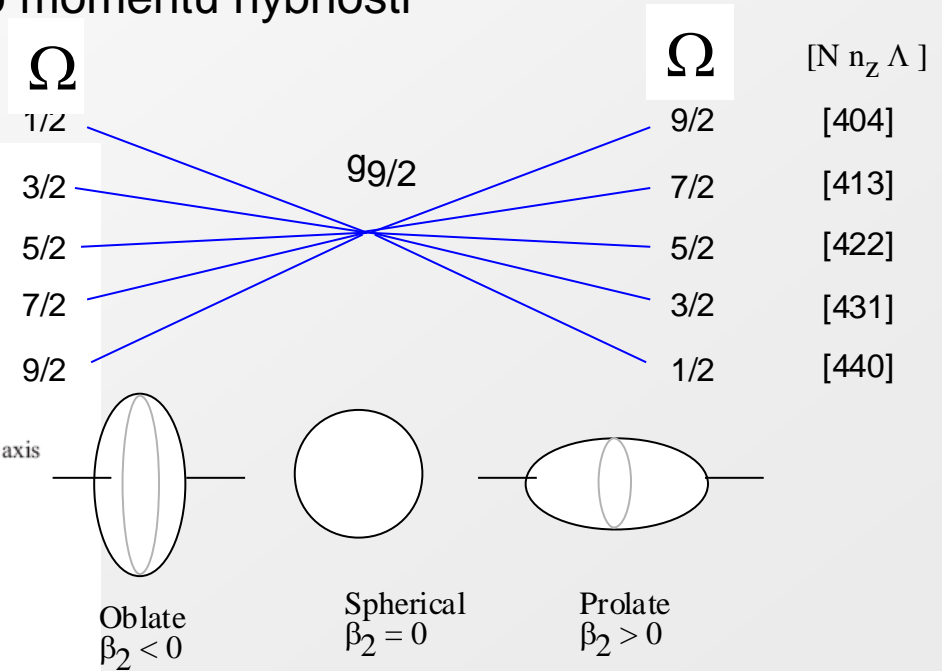
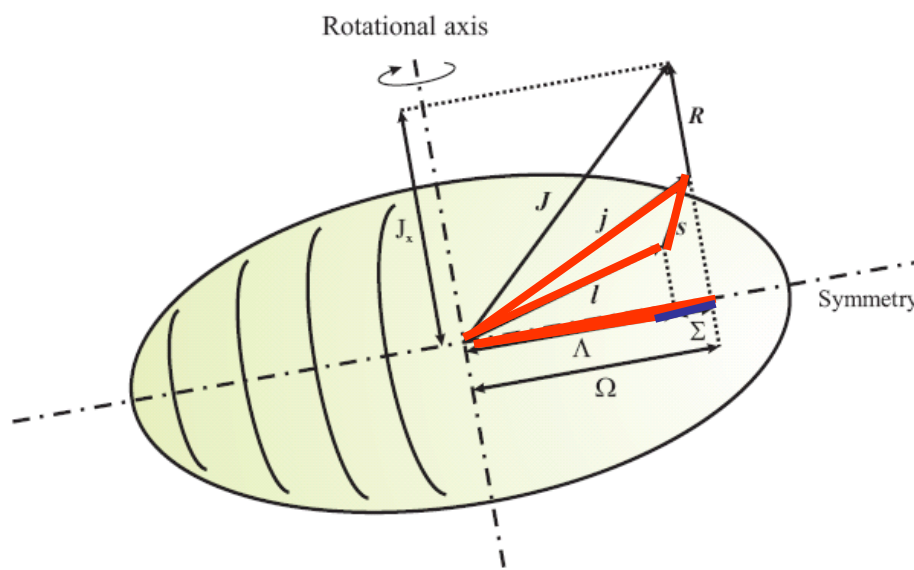
Zavádzajú sa nové tzv. asymptotické kvantové čísla.

$j$  - moment hybnosti častice (orbitálny moment hybnosti plus spin)

$\Omega$  - projekcia momentu hybnosti do osi symetrie ( $j_z$ )

$\Sigma, \Lambda$  – projekcie orbitalneho a spinoveho momentu hybnosti

$n_z$  – kvantové číslo oscilátora



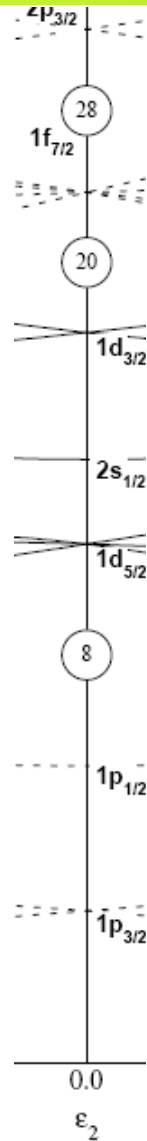
# Označenie hladín



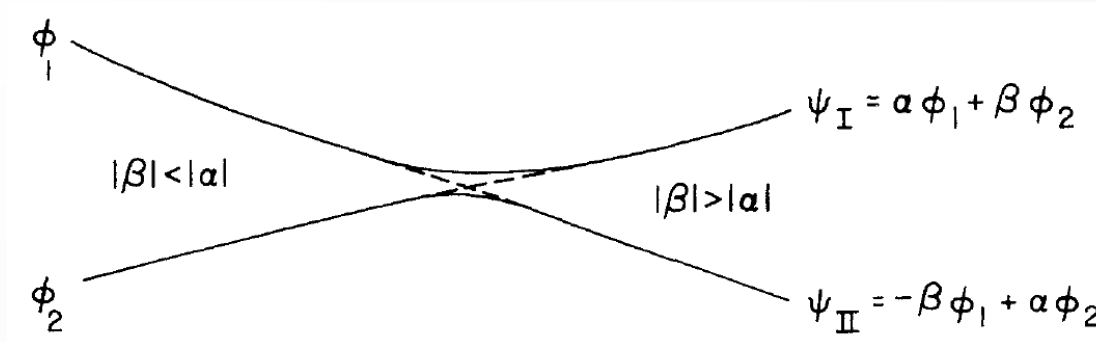
Plné označenie hladín v Nilssonovom modeli nám poskytuje informáciu o hlavnom kvantovom čísle oscilátor aj priemete orbitálneho momentu hybnosti

			Označenie hladiny $\Omega^\pi[N n_z \Lambda]$
—————	N=6	4s, 3d, 2g, 1i	Hlavné kvantové číslo oscilátora $N$ nám taktiež nesie informáciu o parite.
—————	N=5	3p, 2f, 1h	$n_z$ môže maximálnu hodnotu dosiahnuť práve hodnotu $N$
—————	N=4	3s, 2d, 1g	Takže napr. $\Omega^\pi[N n_z \Lambda] = 1/2-[550]$ zodpovedá hladine z orbitálu $h_{11/2}$ .
—————	N=3	2p, 1f	Maximálny priemet do osi symetrie je 5 ( $l=5$ zodpovedá v spektroskopickej notácii písmenu "h") a hlavné kv. číslo oscilátora 5 nám indikuje 1h.
—————	N=2	2s, 1d	
—————	N=1	1p	
—————	N=0	1s	

# Nilssonov diagram $Z < 28$

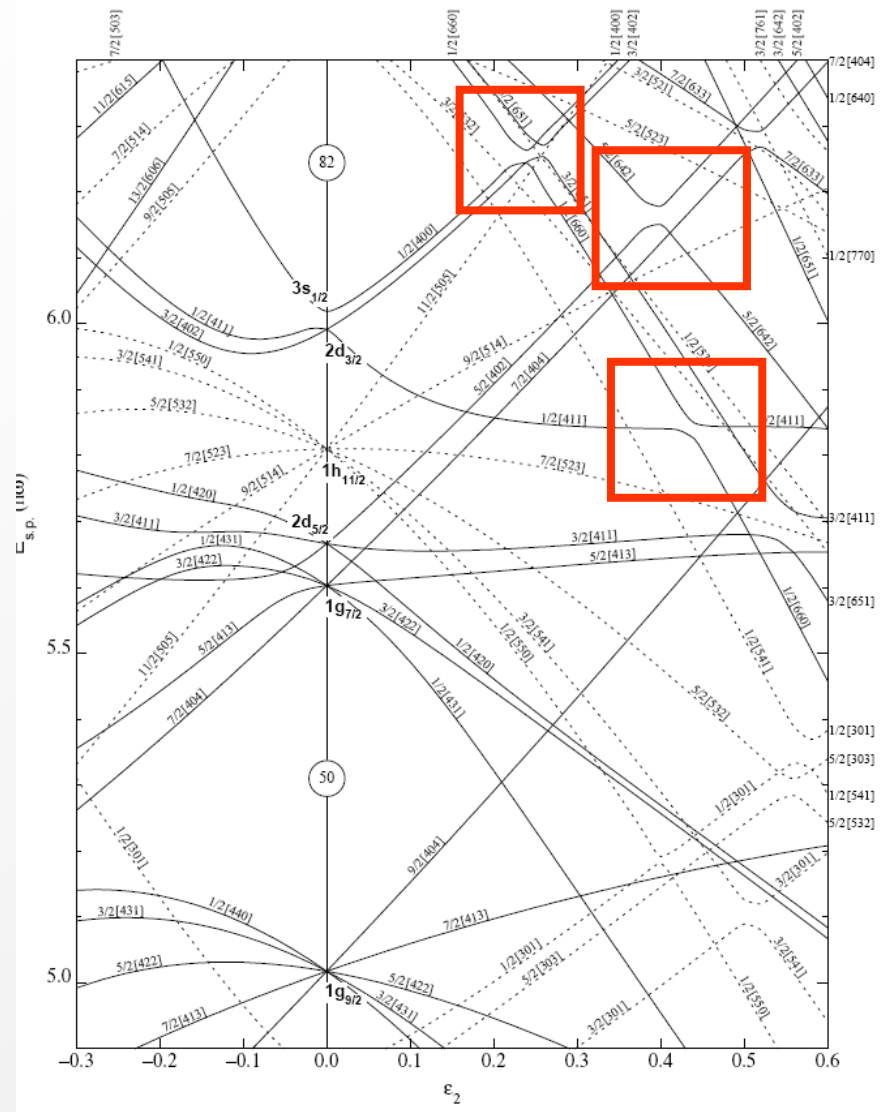


# Interakcia orbitalov

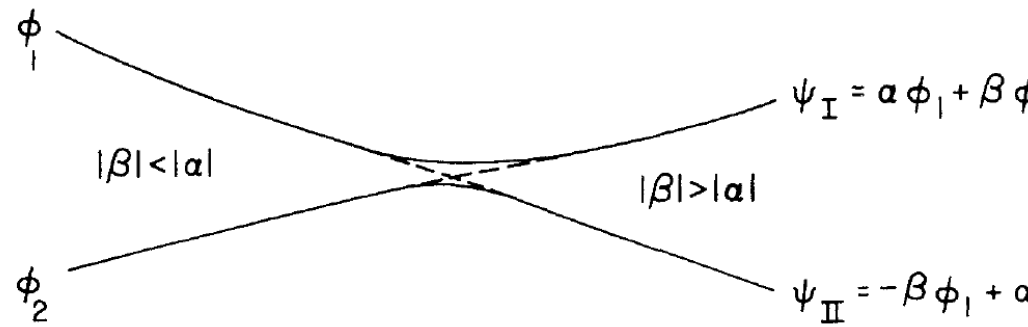
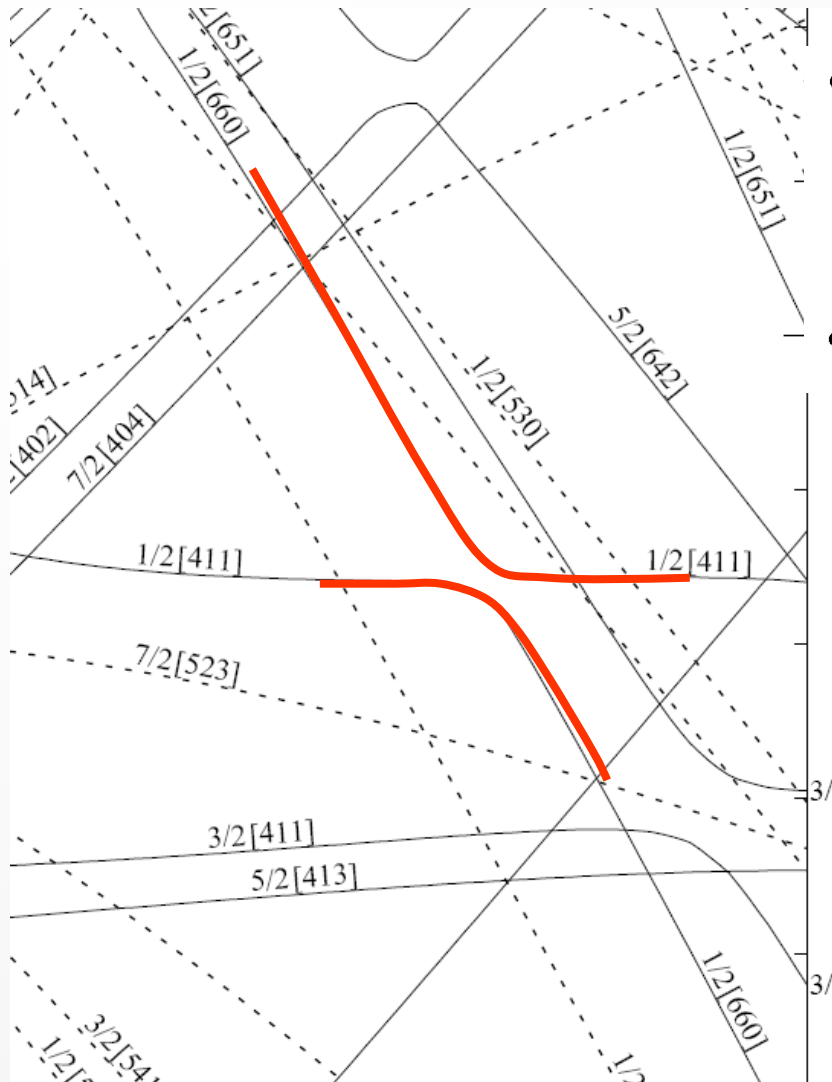


Predpokladajme dva stavy 1 a 2, ktorých energie závisia od parametra  $x$  jadrovej štruktúry. Napr.  $x$  môže byť parameter deformácie. Predpokladajme existenciu  $x_{crit}$  v ktorom by sa mali pretnúť. Energetické hladiny týchto stavov sa začnú miešať a efektívne sa budú odpudzovať a v ďalšom vývoji sa budú miešať. Bod v ktorom sa najviac priblížia bude zodpovedať bodu, v ktorom budú mať rovnakú prímes každého zo stavov.

# Nilssonov diagram $50 < Z < 82$

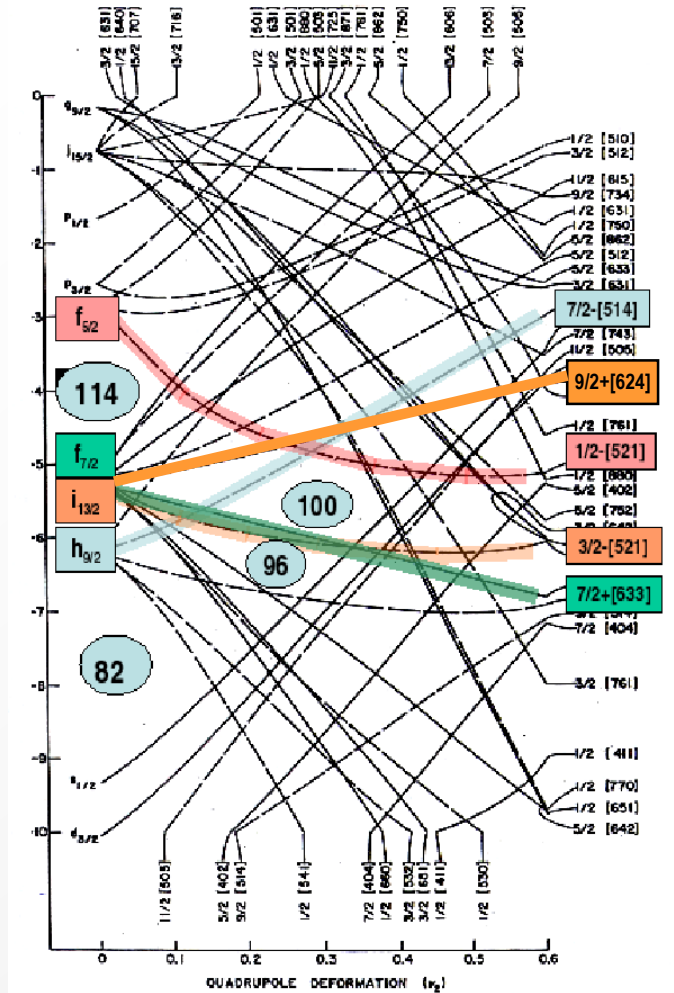


# Interakcia orbitalov

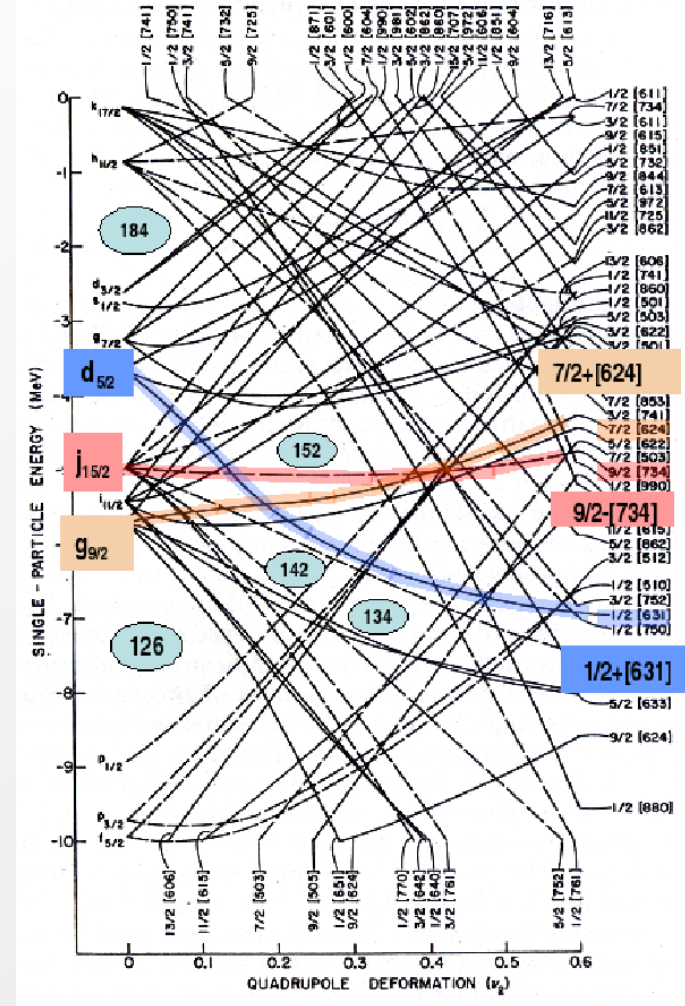


# Nilsson diagram najťažšie prvky

Protons



Neutrons





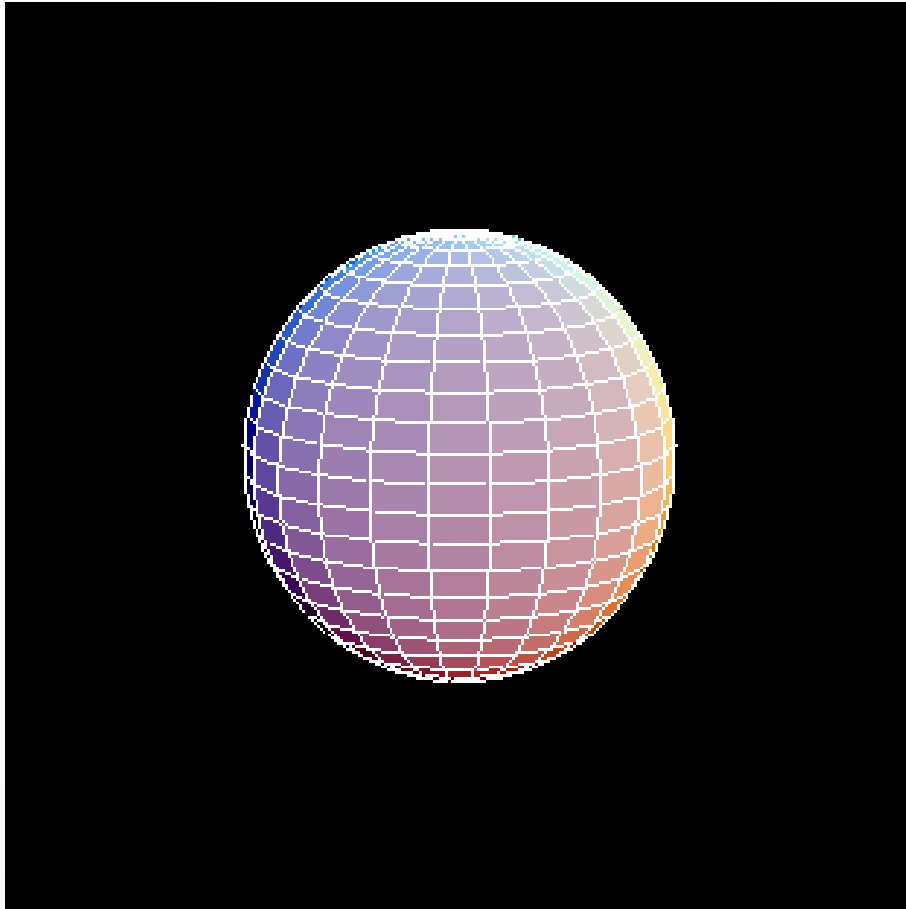


# KOLEKTÍVNE EXCITÁCIE JADIER

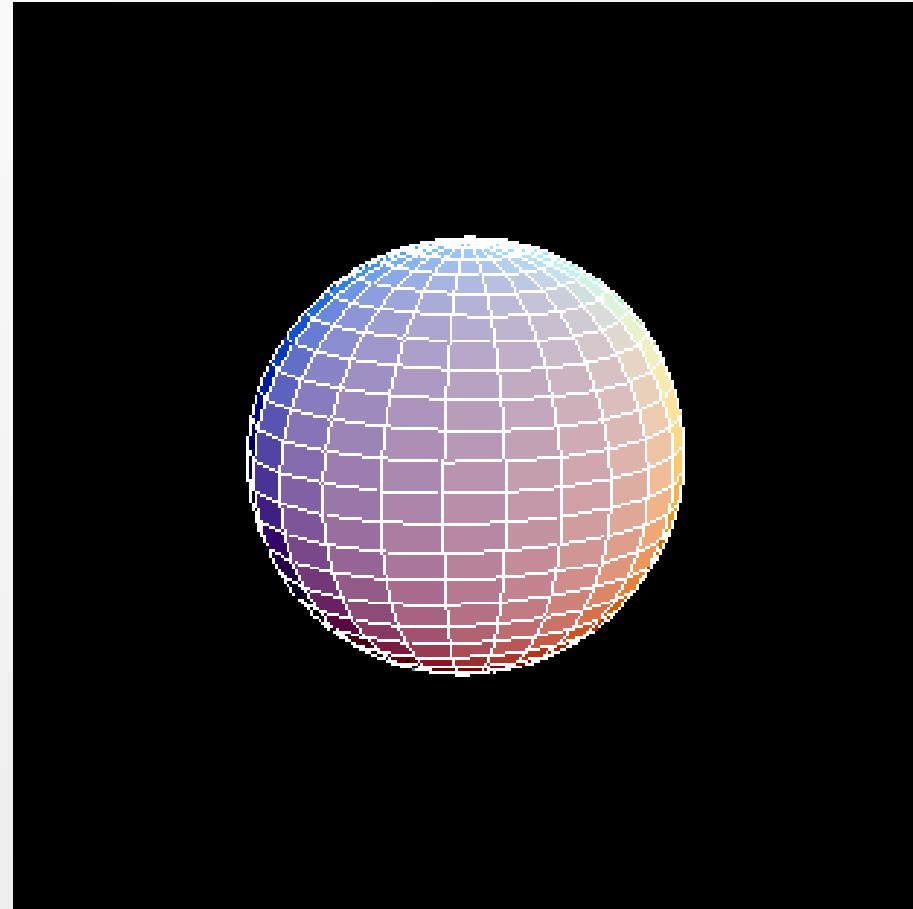
# Kvadrupólové vibrácie jadra



Quadrupólová  $\beta$  vibrácia



Quadrupólová  $\gamma$  vibrácia

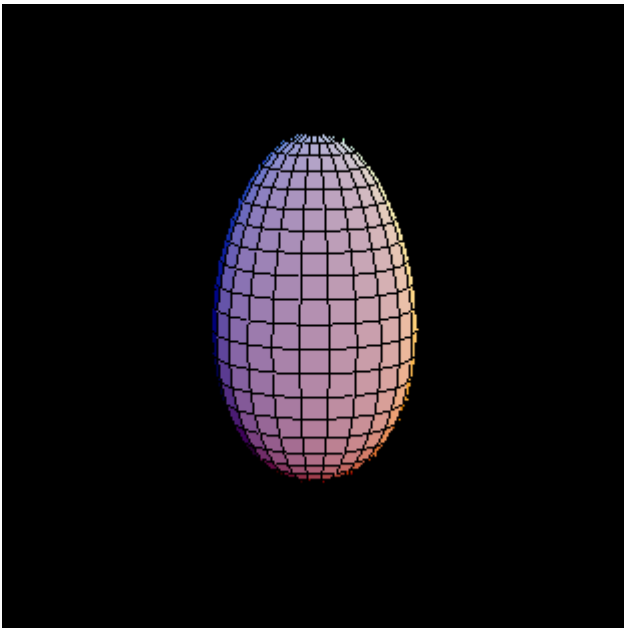


<http://radware.phy.ornl.gov/movies/>

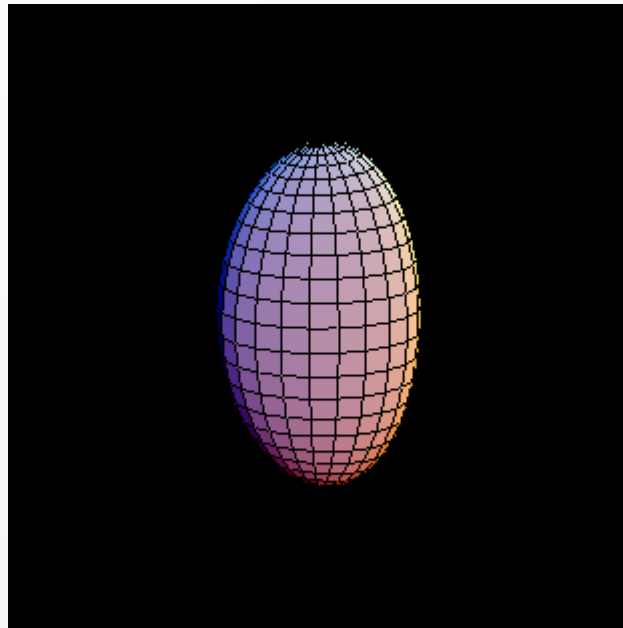
# Oktupólové vibrácie jadra



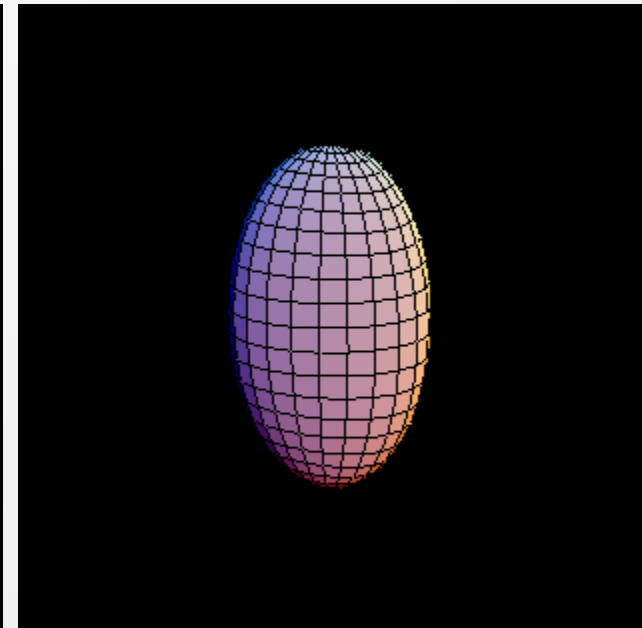
Y30 vibrácia



Y31 vibrácia



Y32 vibrácia

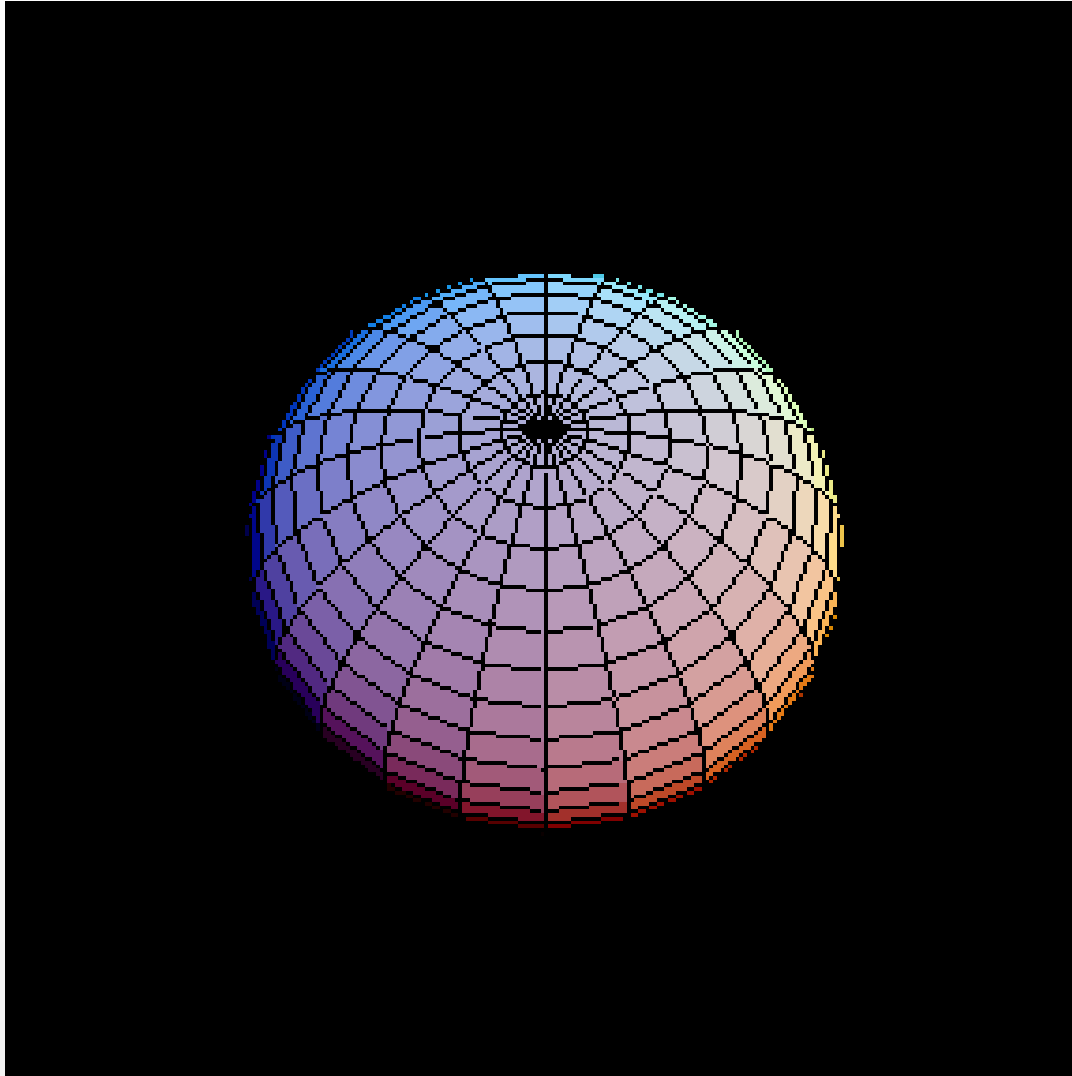


<http://radware.phy.ornl.gov/movies/>

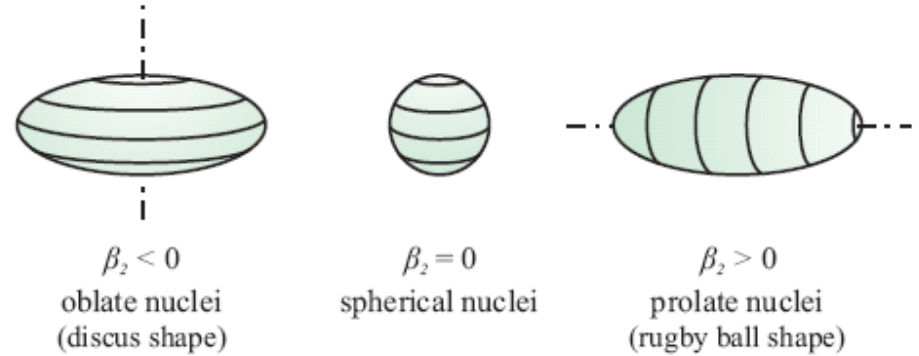
# Vibrácia+rotácia



Y32 vibrácia + rotácia



# Rotačné stavy



Energia rotačných stavov

$$E_{rot} = \frac{\hbar^2 J(J+1)}{2\mathcal{J}}$$

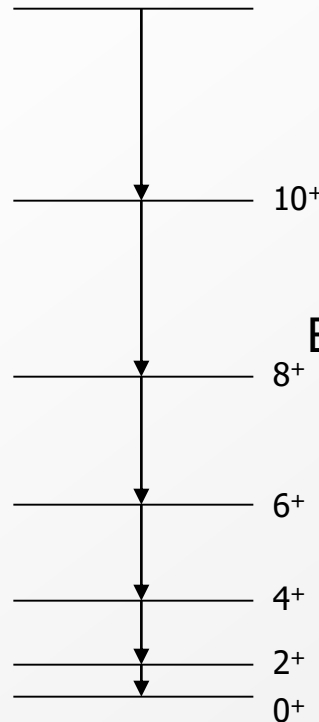
$$E_{rot} = \frac{\hbar^2}{2\mathcal{J}} (J(J+1) - K(K+1))$$

Pri vysokých rotáciách aj odstredivé sily

$$E_{rot} = \frac{\hbar^2}{2\mathcal{J}} (J(J+1) - \alpha J^2(J+1)^2)$$

Tuhé teleso (rigid rotor)

$$\mathcal{J}_{rig} = \frac{2}{5} AMR_0^2(1 + 0.31\beta),$$



<sup>156</sup>Dy

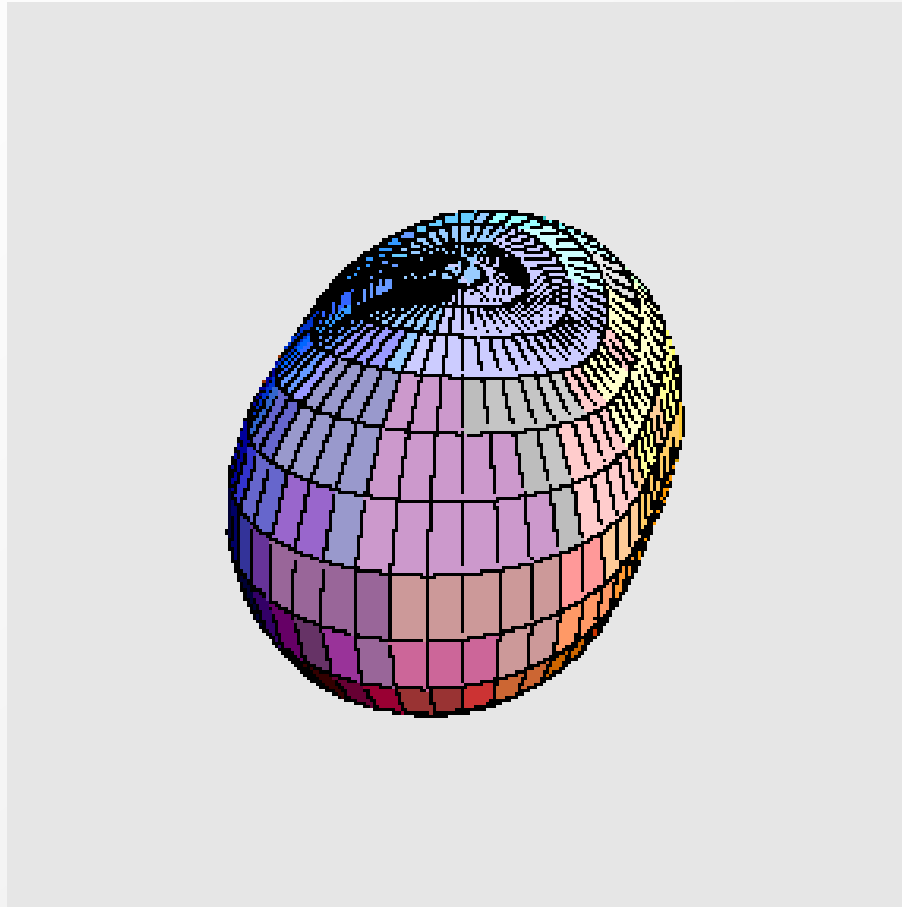
$$\mathbf{I} = \mathcal{J}\boldsymbol{\omega}$$

$$E_I = \frac{\hbar^2}{2\mathcal{J}} I(I+1)$$

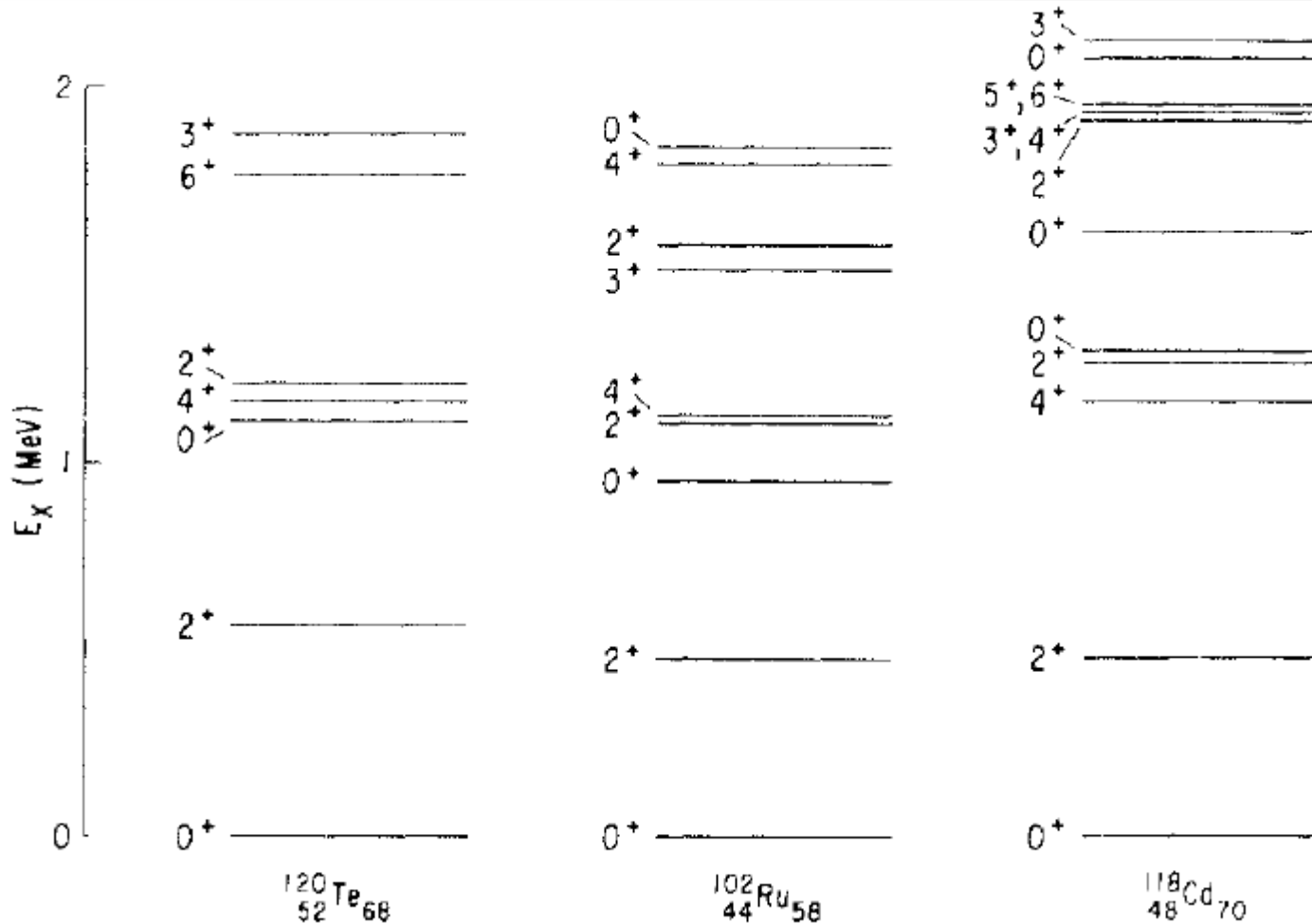
# Rotácia jadra



Sférické jadrá nemôžu rotovať. Musí byť definovaná os symetrie.

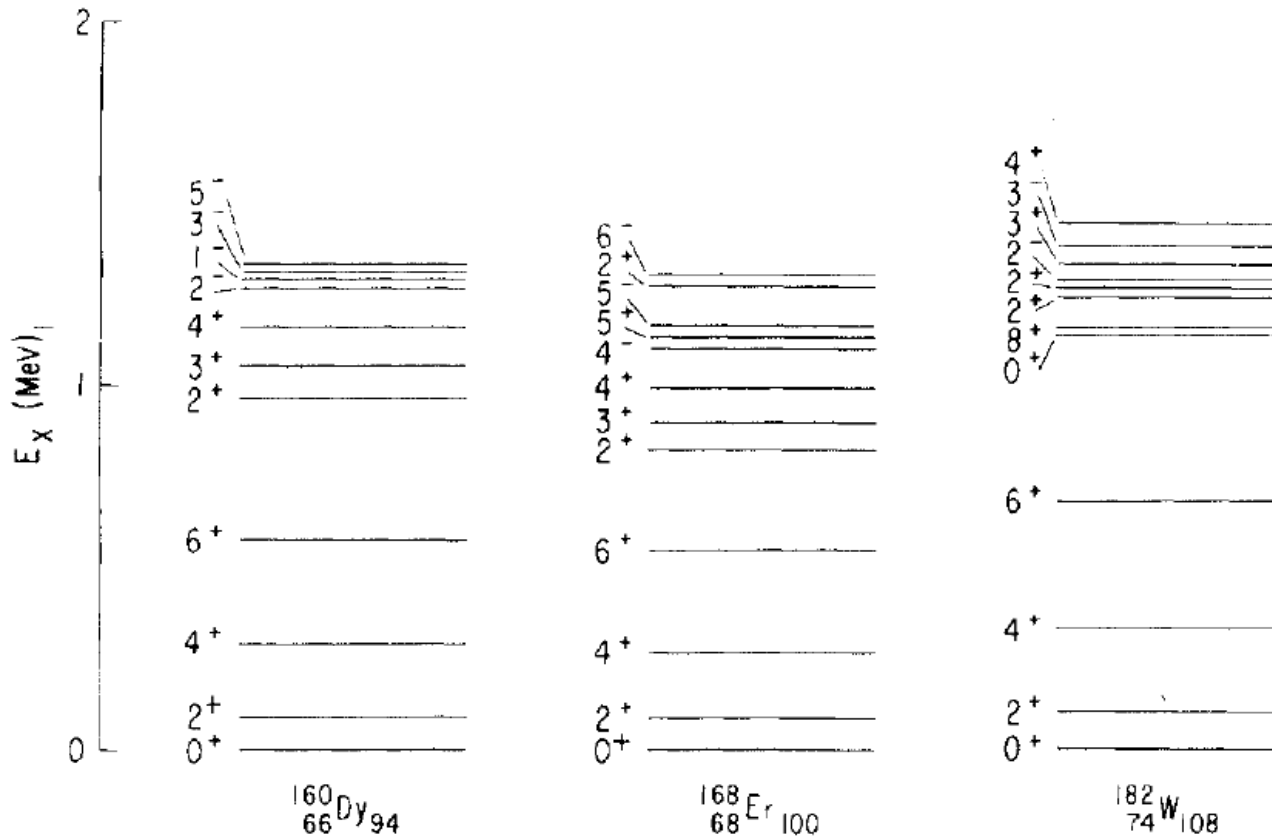


# Vibračné stavy



Nízko-ležiace vzбудené hladiny pre vibračné stavy jadier. Relatívne vysoko lokalizovaný prvý  $2^+$  stav nasledovaný dvoj-fonónovým tripletom

# Rotačné stavy



Nízko-ležiace vzбудené hladiny pre dobre deformované jadra prvkov z oblasti vzácnych zemín. stavy jadier. Deformácia umožní okrem vibračných stavov taktiež aj rotačné stavy reprezentované nízko-ležiacimi  $2^+$ ,  $4^+$ ,  $6^+$ ... hladinami, ktoré narastajú úmerne  $J(J + 1)$ .



# Rotačné + jednočasticové stavy



Rotačný stav, môže byť „vybudovaný“ na jednotlivých jednočasticových stavoch. V prípade nepárno-párnych jadier sa tým výrazne zvyšuje hustota hladín a komplikuje sa analýza identifikovaných prechodov.

